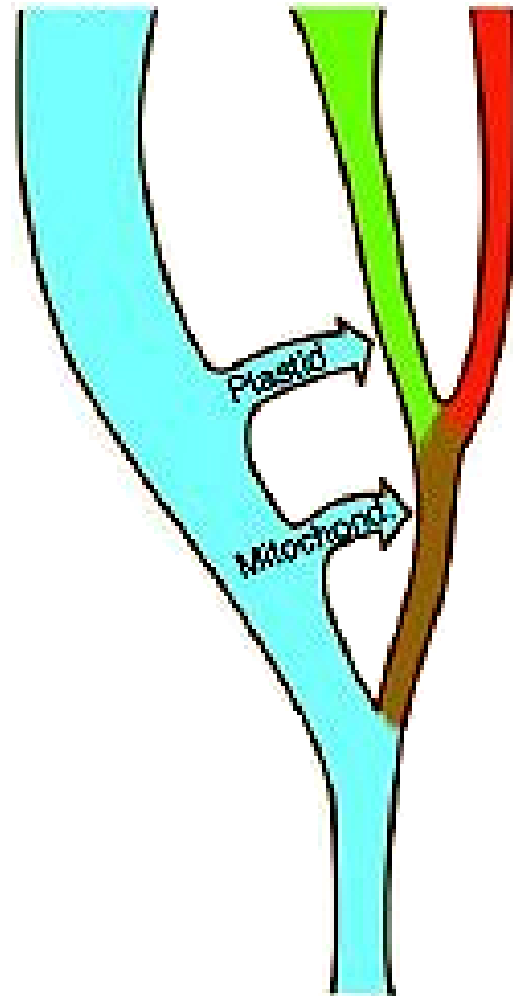




Základní kroky v evoluci rostlin a živočichů

prokaryota **rostliny** **živočichové**



- současnost
- 0,6 miliard let
fosílie mnohobuněčných
- 1,6 miliard let
společný předek
rostlin a živočichů
- 2,7 miliard let
stopy fosílií eukaryot
- 3,8 miliard let
důkaz existence života

VÝVOJOVÉ PROCESY U ROSTLIN A ŽIVOČICHŮ

zárodečná dráha	<i>zárodečné buňky vznikají ze somatických v pozdním vývoji</i>	<i>segreguje od somatické v časně embryogenezi</i>
oplození	<i>dvojitě (zygota a endosperm)</i>	<i>jednoduché</i>
haploidní fáze	<i>několikabuněčný gametofyt</i>	<i>pouze gamety</i>
imprinting	<i>ovlivňuje vývin endospermu</i>	<i>zásadně řídí embryogenezi</i>
diferencované buňky	<i>totipotentní</i>	<i>osud progresivní a ireverzibilní</i>
tělní plán	<i>založen až při postembryonálním vývinu meristému, vliv prostředí</i>	<i>vytvořen již v embryu, vývojový program determinován</i>
tvorba tvarů	<i>podobné vývojové principy včetně specifikace osy, založení vývojových kompartmentů, homeotické geny zajišťují poziční identitu</i>	
morfogeneze	<i>buněčný pohyb či lokomoce nejsou, závisí na rovině a rychlosti dělení</i>	<i>relativní pohyb buněk (gastrulace) buněčná migrace (zárodečné buňky)</i>

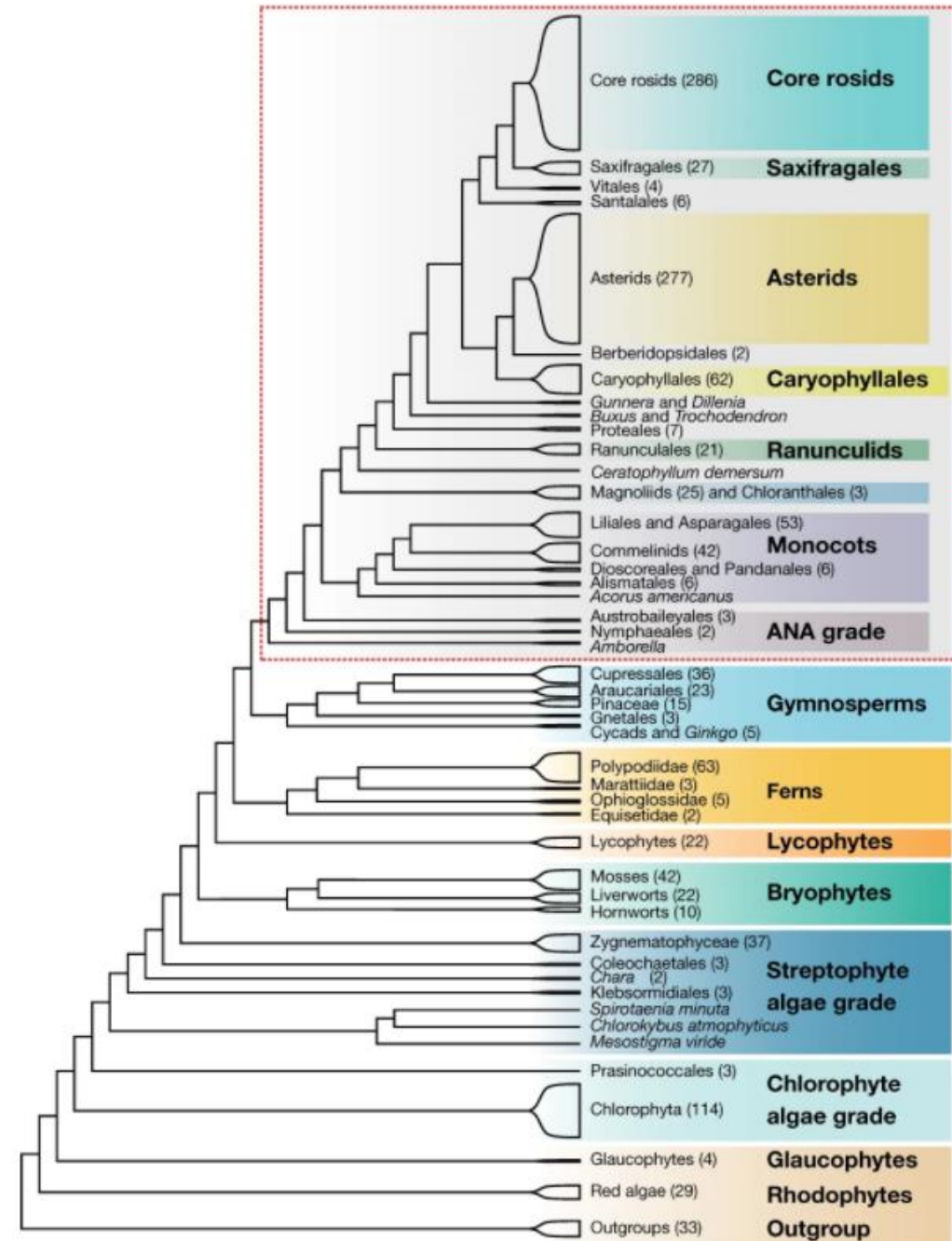
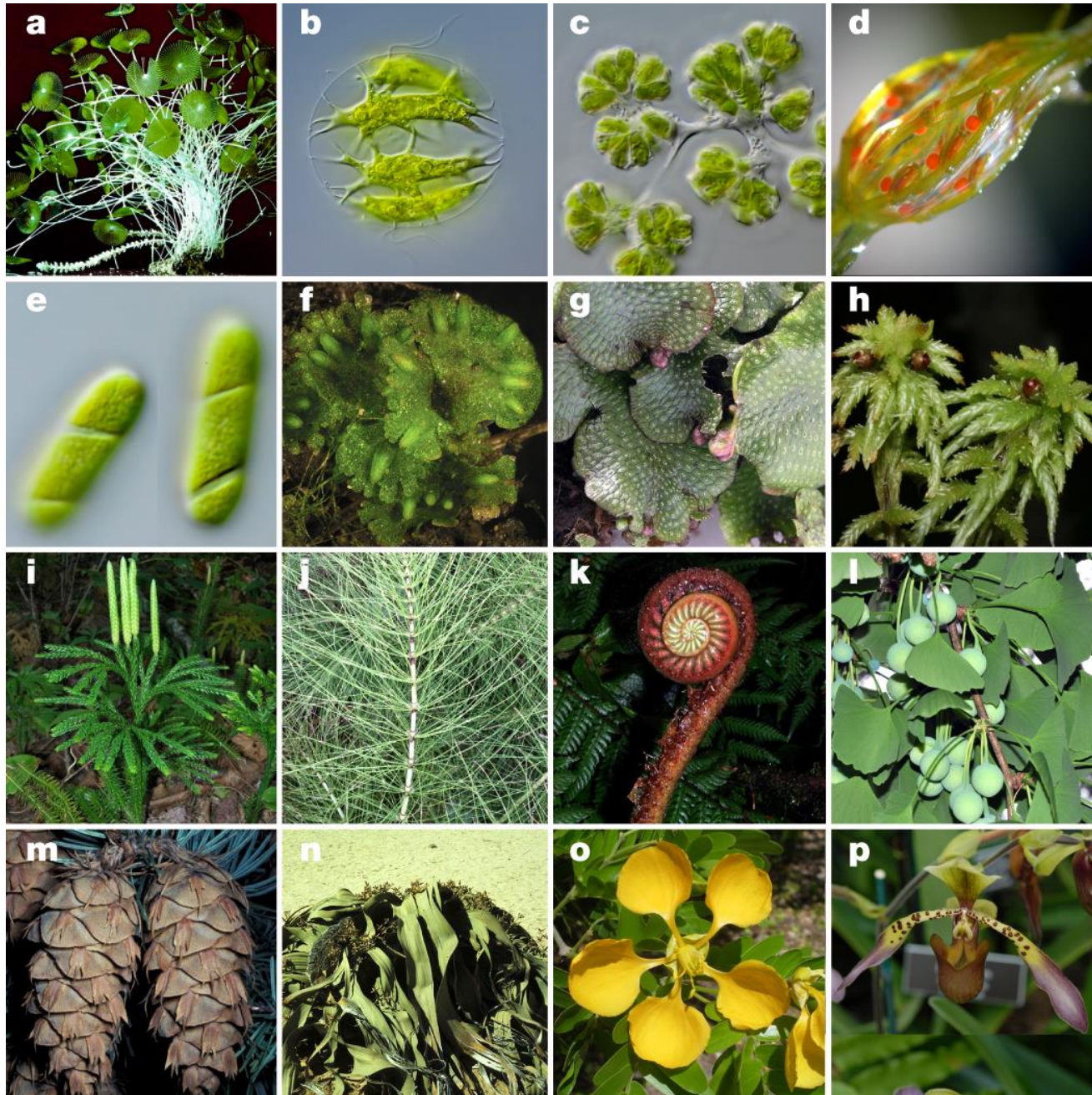
ROSTLINY A ŽIVOČICHOVÉ aneb LOGIKA VÝVOJE

- rostliny a živočichové jsou složeni z odlišných typů buněk: tyto dvě říše divergovaly ze společného jednobuněčného eukaryotického předka
- každá říše si musela vyvinout své mechanismy buněčné diference a komunikace
- počet genů je u těchto říší obdobný: homologní i jsou do jisté míry i regulační geny zodpovědné za vývojové mechanismy
- obecné buněčné funkce rostlin a živočichů jsou shodné: struktura jádra, mitózy, meiózy a základní transkripční a translační mašinerie
- regulace prostorově-časové genové exprese jsou podobné, avšak homeotické geny kódující proteiny (se srovnatelnými vývojovými funkcemi, jsou odlišné)
- některé transkripční faktory mají vysokou AMK-sekvenční homologii (homeoboxy, MADS boxy), mají však jiné funkce
- řada buněčných procesů včetně receptorů vnějších vlivů a mezibuněčných komunikací jsou zásadně odlišné

VÝVOJOVÉ PROCESY U ROSTLIN

- (1) rigidní buněčná stěna (celulóza) brání migraci buněk i lokomočnímu pohybu
- (2) vývoj ovlivněn environmentálními faktory, vznikají fyziologické i genomové adaptace
- (3) formy těla vznikají na základě rozdílů v rychlostech buněčného dělení a buněčným dělením v odlišných rovinách
- (4) veškerý postembryonální růst (včetně tvorby orgánů) pochází z meristémů (kmenové buňky)
- (5) nemají pravou zárodečnou dráhu, tranzice vývoje vegetativního na generativní
- (6) výrazný regulativní vývoj, mezibuněčnými signály jsou mj. nízkomolekulární hormony
- (7) cytoplazmatické kanálky (plasmodesmata) spojují sousední buňky skrze stěny
- (8) jedním z mechanismů diferenciací je i asymetrické buněčné dělení
- (9) jakákoli buňka dává vznik novému jedinci – totipotence: únik z determinovaného stavu?
- (10) dvě nezávislé skupiny strukturně odlišných homeotických genů odpovídají za specifikaci květních částí (MADS-boxové) a stonku i listů (homeoboxové), kolinearita genů neplatí

DIVERZITA ROSTLIN



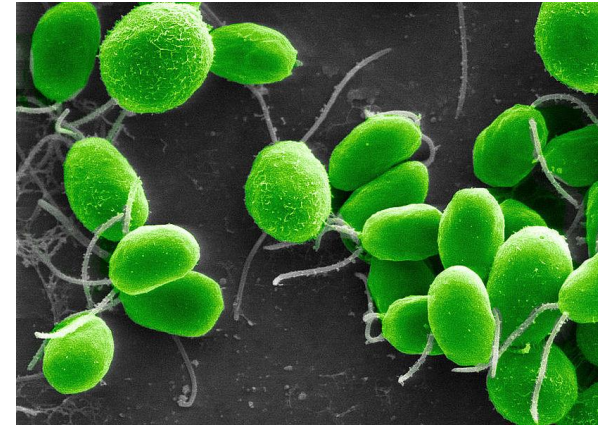
... jednobuněčná
zelená eukaryota :



Chlamydomonas
a *Volvox*

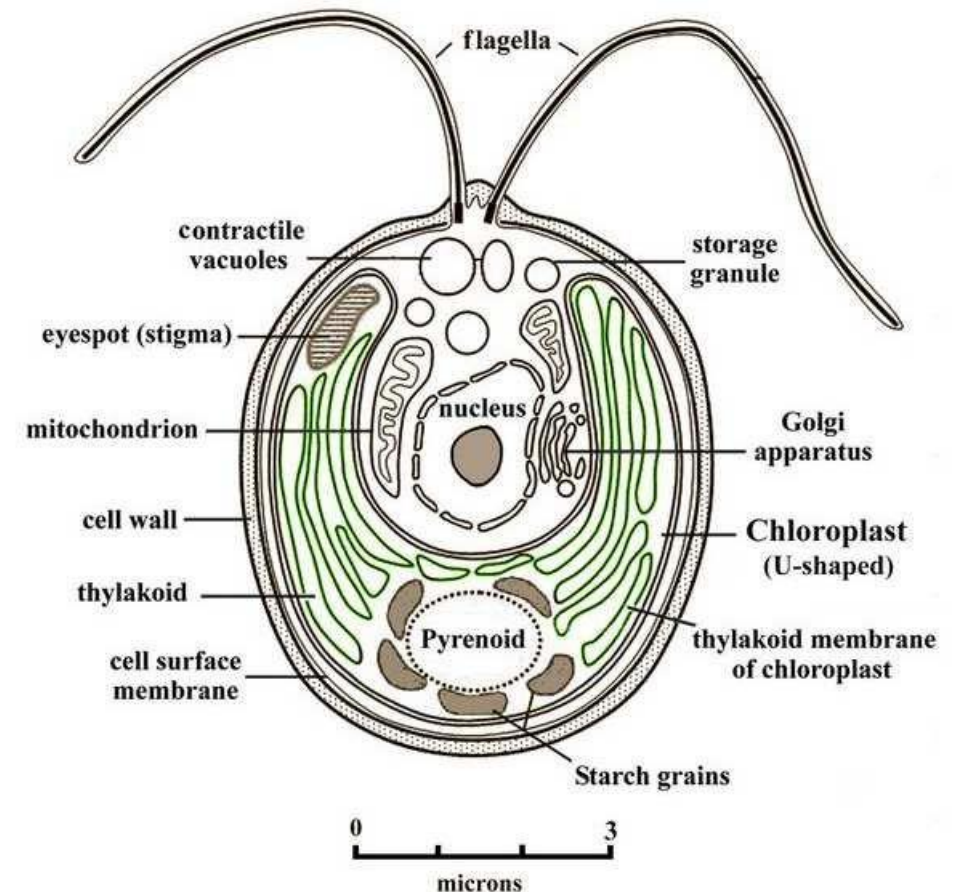
Chlamydomonas reinhardtii

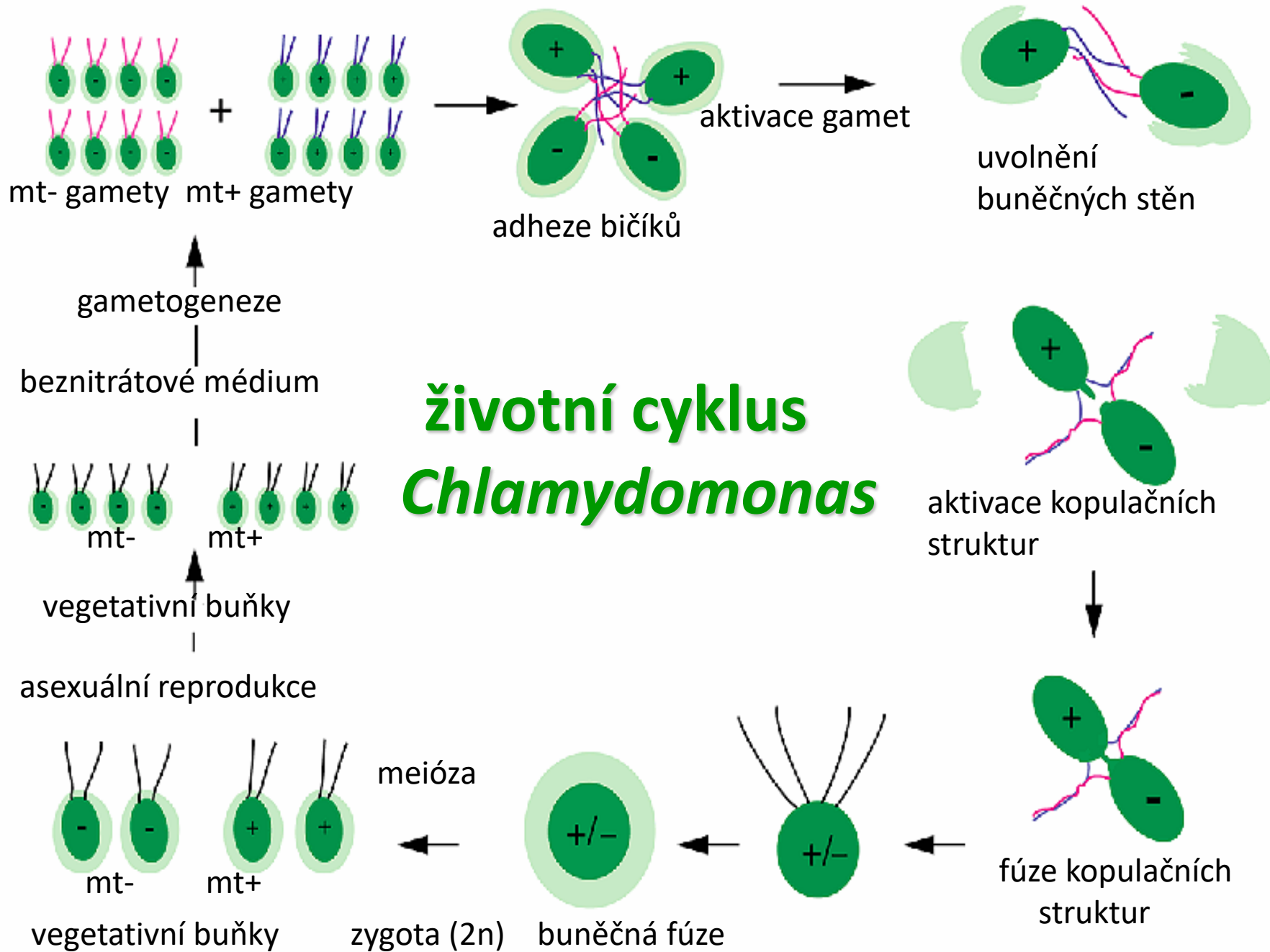
- eukaryotická, ale jde s ní manipulovat mikrobiologickými technikami
- snadná kultivace – fotosyntetická či heterotrofní
- mobilní, vykazuje rysy jednoduchého chování
- lze pěstovat v synchronní či asynchronní kultuře
- má rychlý mitotický cyklus, podrobuje se pohlavnímu rozmnožování
- propracovaná genetika – jaderné, plastidové i mitochondriální genomy mají vhodné markery
- všechny tři genomy mohou být transformovány
- dostupné knihovny mutantů a klonů DNA
- možné skladování v tekutém dusíku



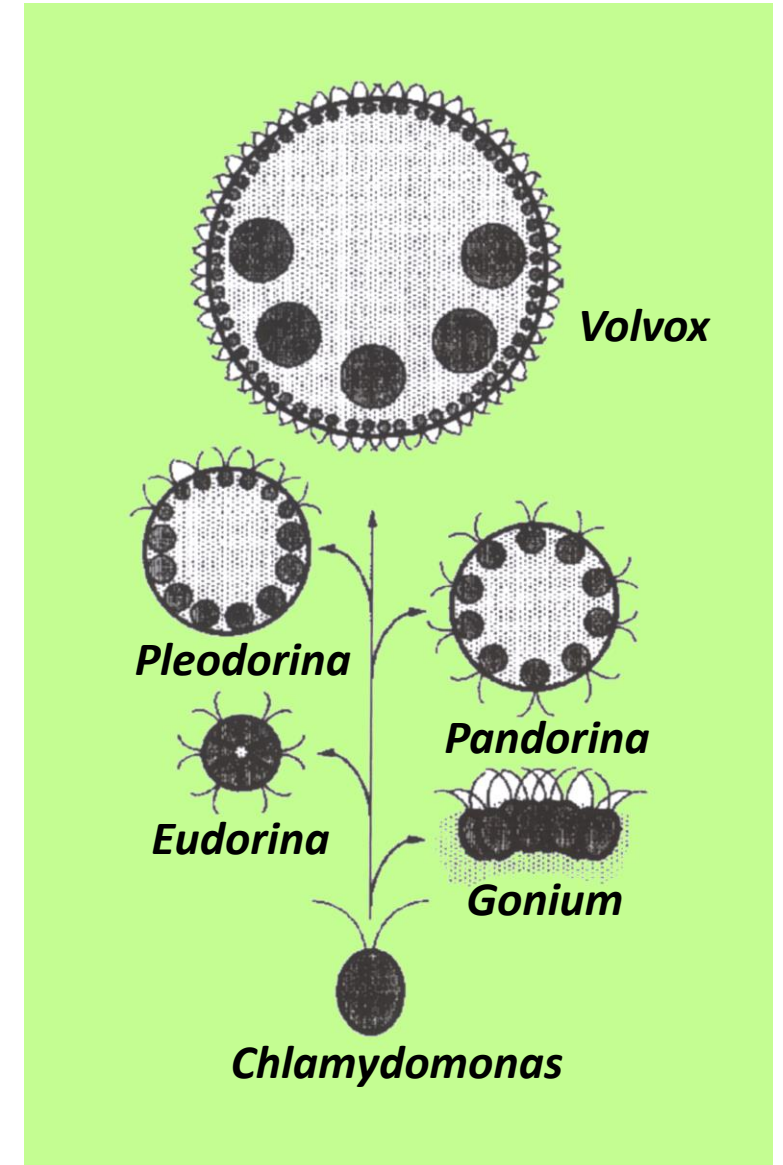
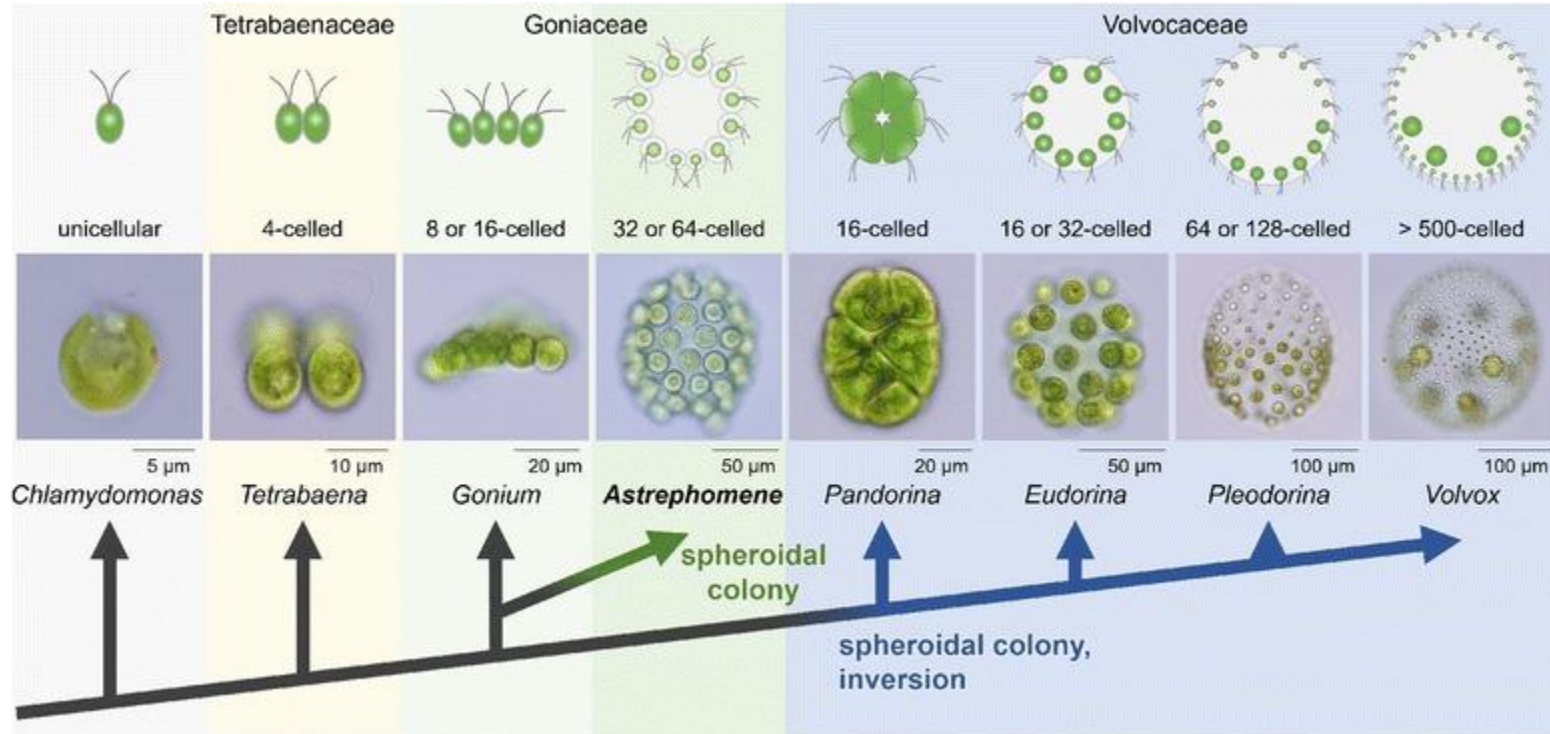
Ruth Sager
February 7, 1918 — March 29, 1997

Ruth Sager





Evolvece mnohobuněčných organismů



Vlastnosti modelu váleče

- ♠ studium ontogeneze a fylogeneze mnohobuněčnosti a buněčné diferenciaci
- ♠ základní tělní plán: asi 2000 biflagelátních somatických buněk a 16 asexuálních reprodukčních buněk (gonidia)
- ♠ diferenciaci je buněčně autonomní
- ♠ centrálním rysem diferenciaci je asymetrická mitóza (*cell size determines cell fate, large vs. small*)
- ♠ buněčná stěna *Chlamydomonas* se vyvinula ve strukturovanou extra-celulární glykoproteinovou matrix, která spojuje buňky do kolonie (spheroid)
- ♠ bičíkaté somatické buňky (specializované k pohybu, fototaxi a chemotaxi) se podrobují programované smrti
- ♠ neobvyklá kombinace rostlinných (fotoautotrofie) a živočišných (pohyb a časná diferenciaci zárodečné dráhy) znaků
- ♠ pozorování Antoni van Leeuwenhoeka (1700), kultivace *in vitro* a životní cyklus - Bill Darden (1966), identifikovány odlišné sexuální formy
- ♠ asexuální životní cyklus řízen světlem, trvá 2 dny a vzniká 16 nových jedinců → izogenní linie
- ♠ nepohlavní embryo tvořené na konci rýhování má už své vlastní somatické a zárodečné buňky
- ♠ pohlavní reprodukce je iniciována teplem, které vyvolá syntézu glykoproteinového feromonu v somatických buňkách: dormantní diploidní zygota
- ♠ vrchol „volvocinní“ větve zelených řas, jednobuněčná bičíkatá *Chlamydomonas*, koloniální *Eudorina* a *Pleodorina*, buněčně diferencovaný *Volvox*



**Antoni van Leeuwenhoek
(1632-1723)**



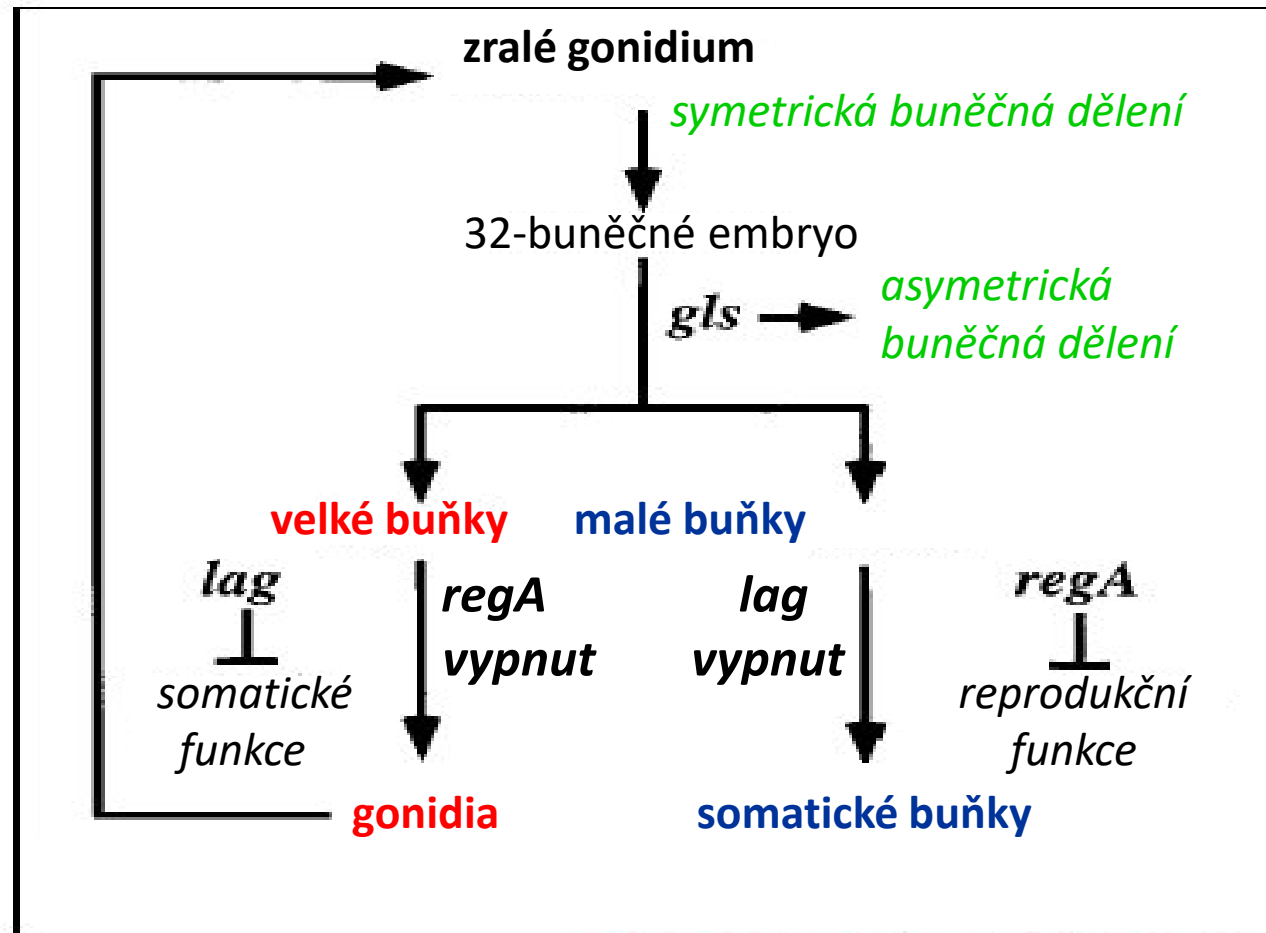
**David L. Kirk
St. Louis**



asexuální životní cyklus váleče (*Volvox globator*)
- asymetrická mitóza definuje zárodečnou dráhu
- 16 gonidií a asi 2 000 bičíkovců, programovaná smrt

Model řízení diferenciace zárodečné dráhy u *Volvox*

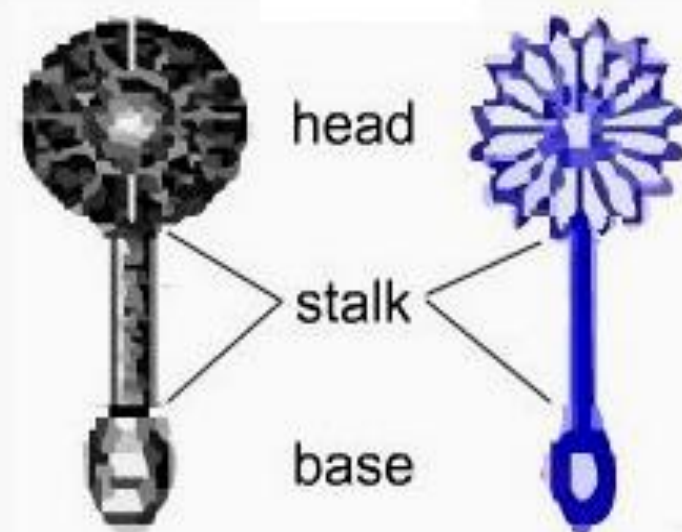
geny *gls* způsobují asymetrické dělení vedoucí ke tvorbě velkých (geny *lag* zapnuty, *regA* vypnuty) a malých buněk (*regA* zapnuty, *lag* vypnuty)



Acetabularia : jednobuněčný model regenerace a
posttranskripční regulace

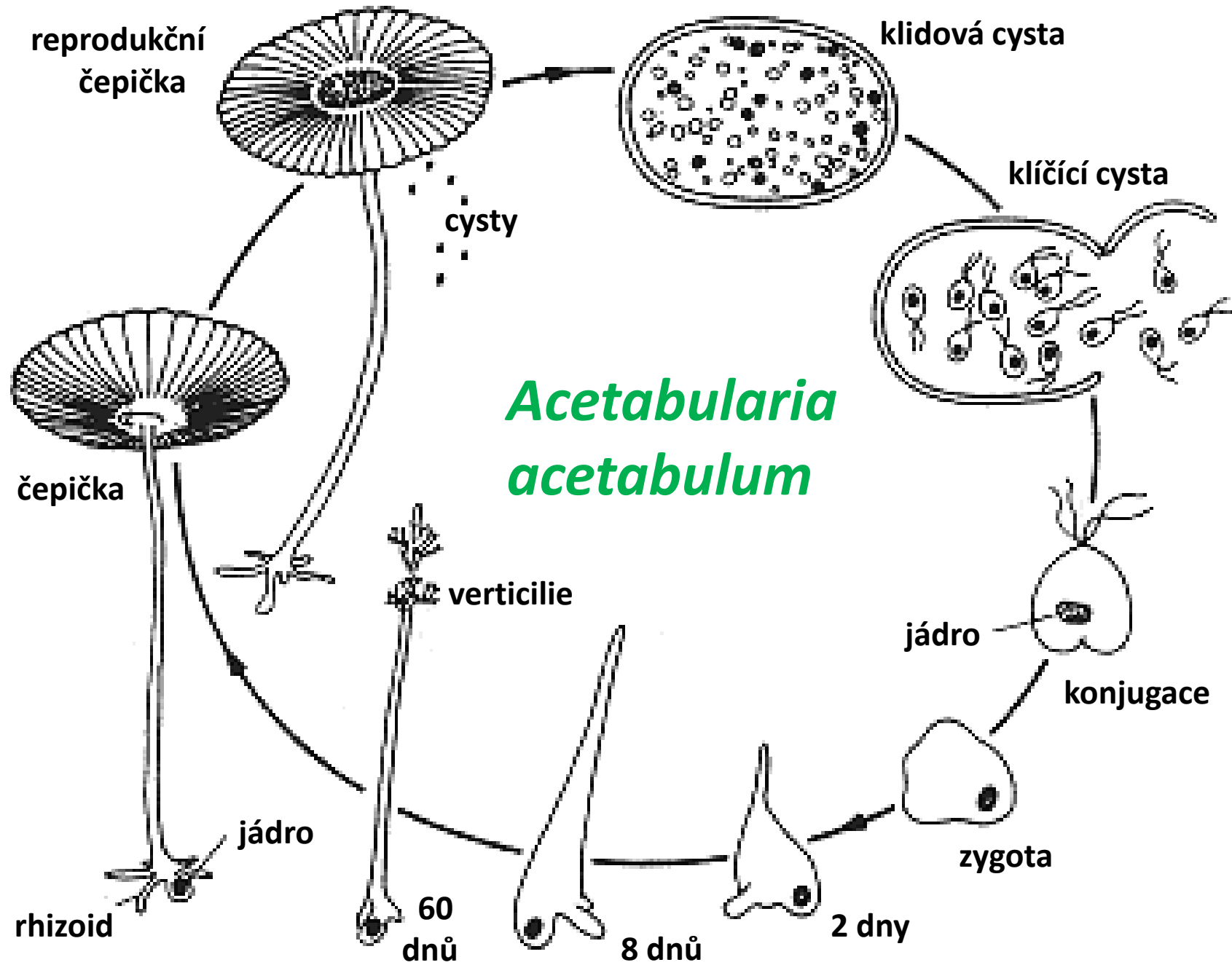


That the hereditary information was localized to nuclei was suggested by a number of observations, particularly the transplantation experiments of the **Joachim Hammerling** in the 1930's.



He used various species of *Acetabularia* that differed in the shape of their heads.

He showed that the information needed to control the morphology of the giant unicellular green alga *Acetabularia*, the mermaid's wineglass, was located within the region of the cell that contained the nucleus.



reprodukční
čepička

klidová cysta

cysty

klíčící cysta

*Acetabularia
acetabulum*

čepička

verticilie

jádro

konjugace

jádro

zygota

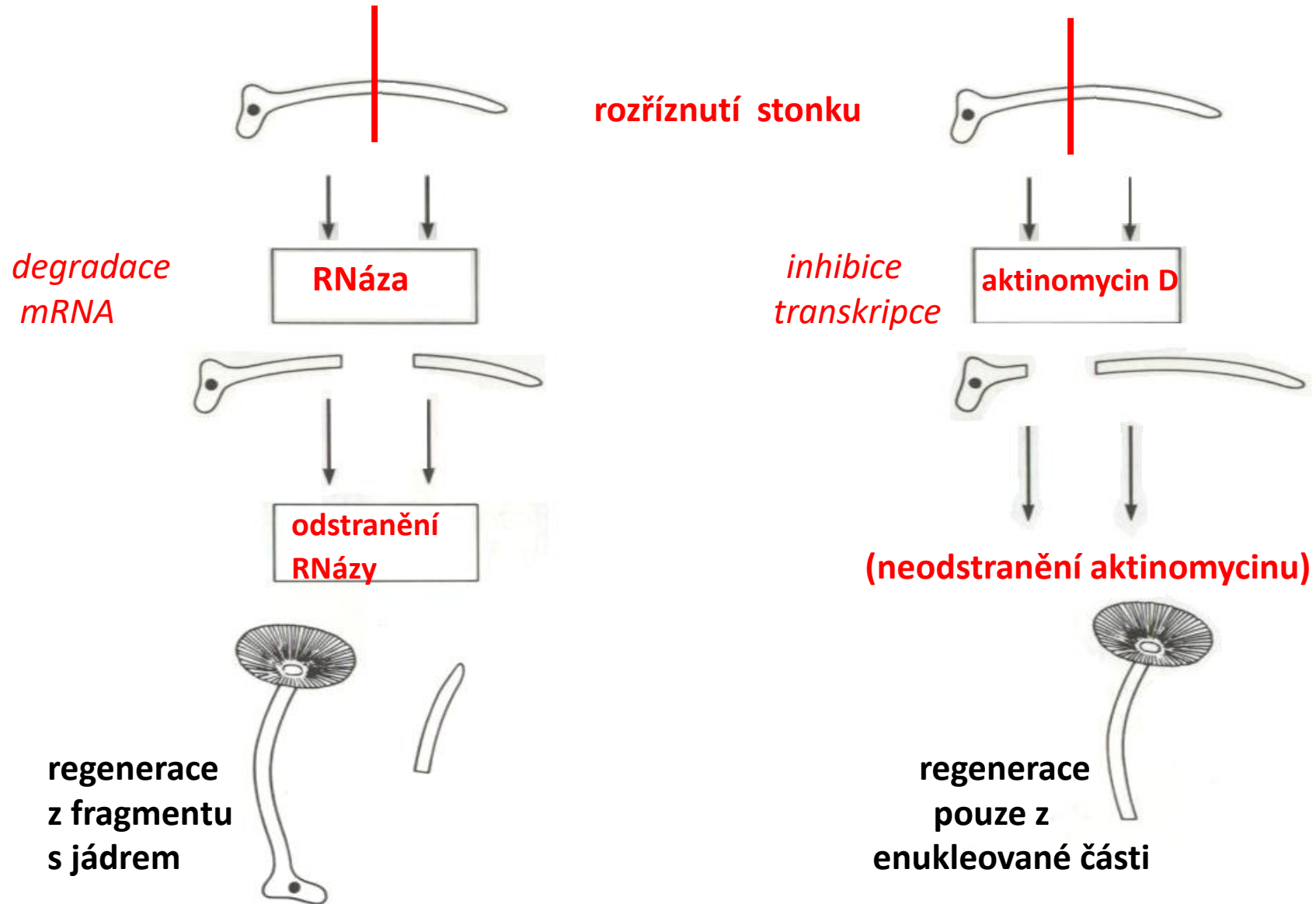
rhizoid

60
dnů

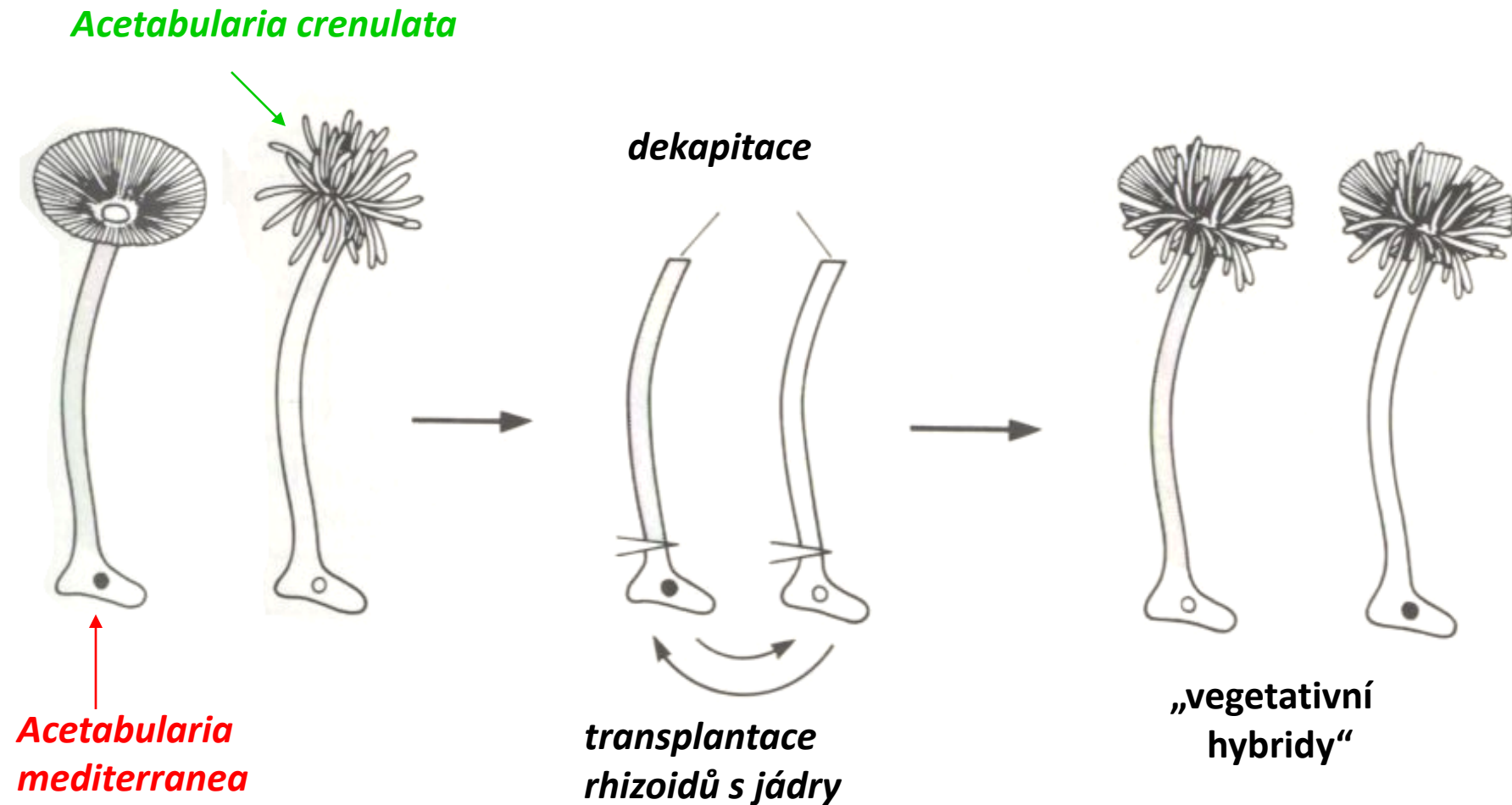
8 dnů

2 dny

Řízení diferenciace na úrovni translace



Vliv stávající cytoplasmy a syntézy nových mRNA na morfologii regenerované čepičky



mnohobuněčné nižší rostliny :

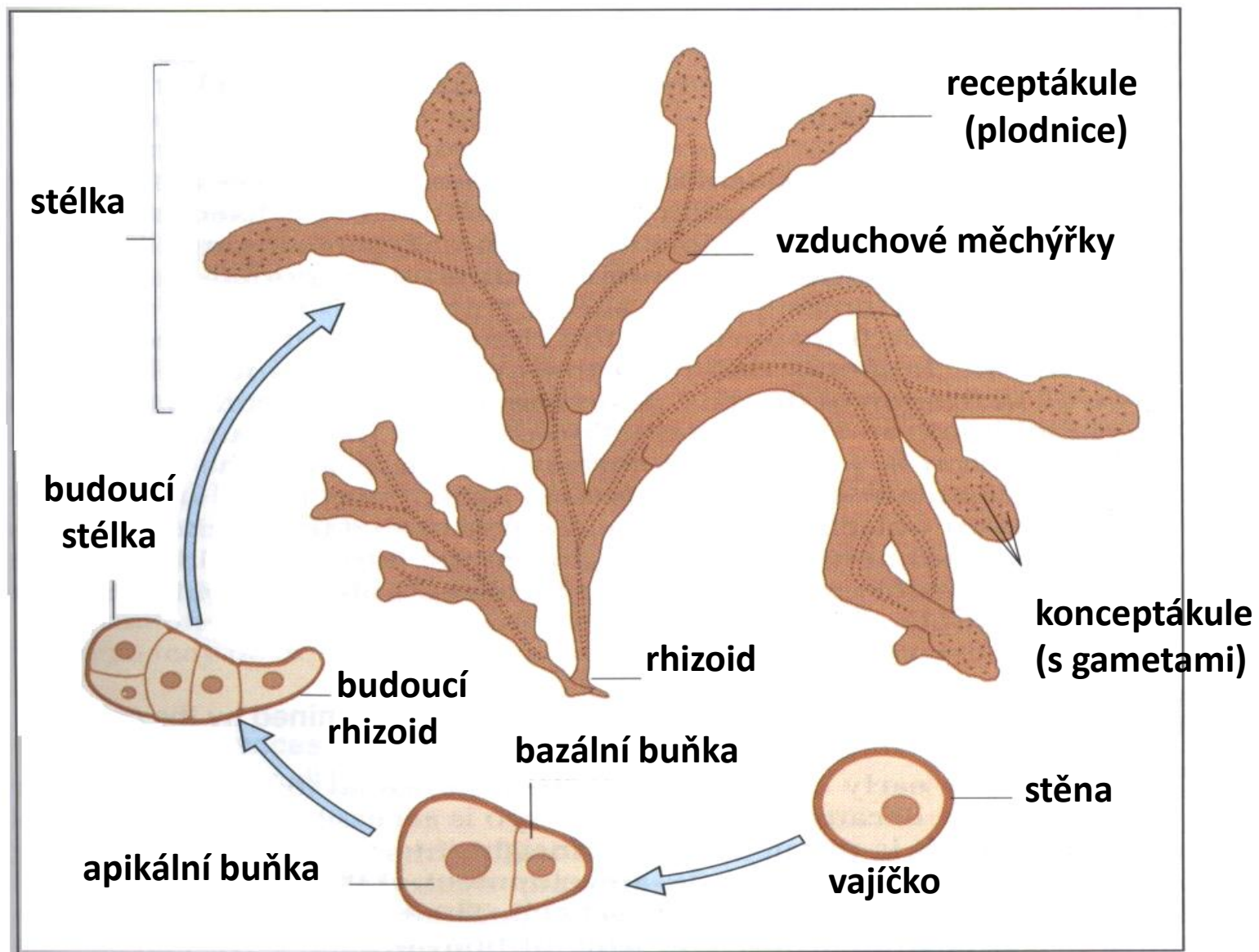


chaluhy

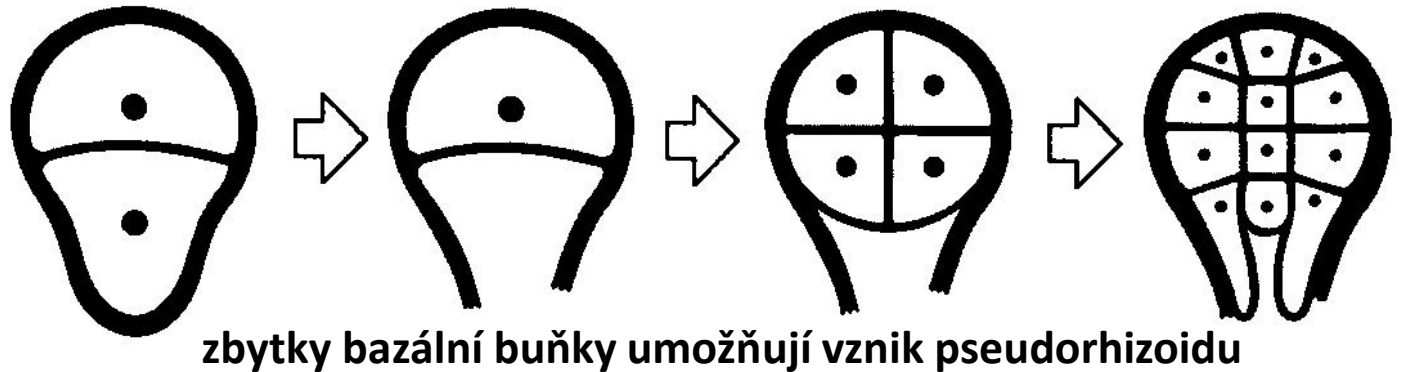
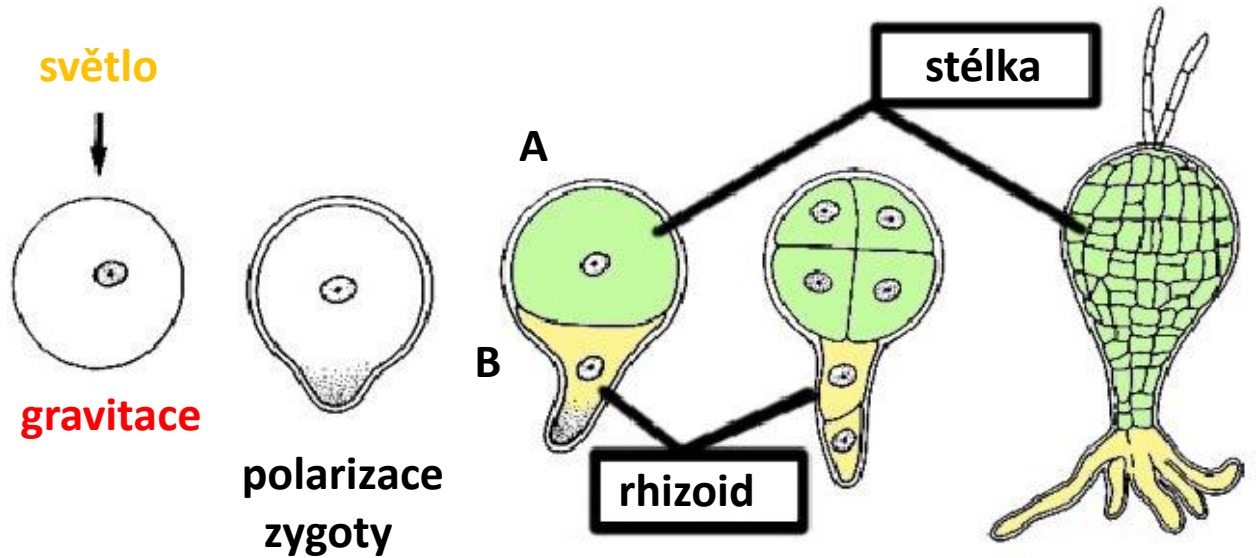
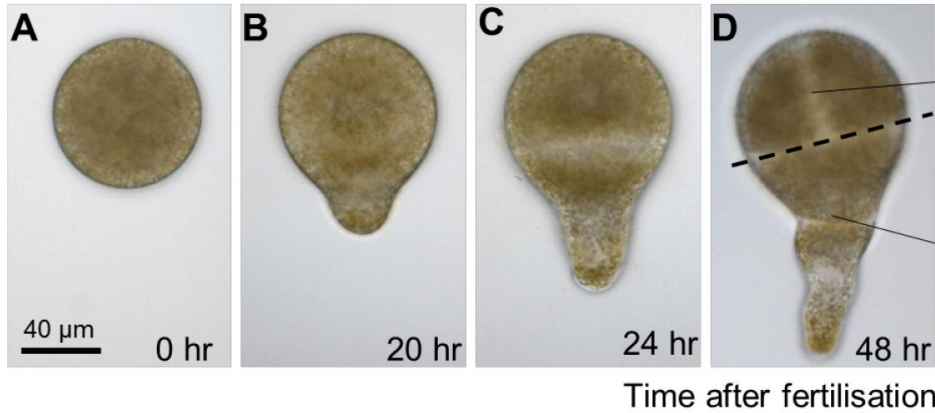


BLADDER WRACK ~ *Fucus vesiculosus*

Životní cyklus modelové mnohobuněčné řasy: *Fucus vesiculosus*



Fucus: model studia polarity zygoty



játrovka

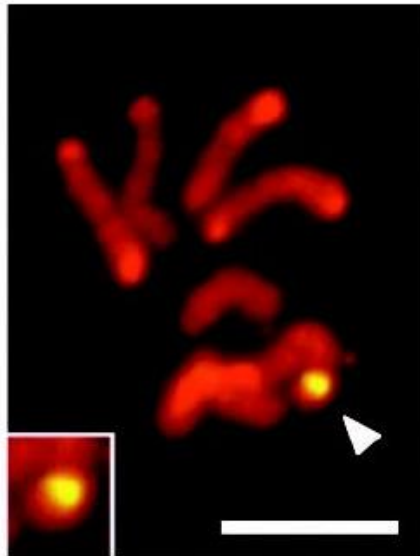


Marchantia polymorpha

porostnice mnohotvará (dvoudomá)



$$n = 8A + X$$



Y



$$n = 8A + Y$$



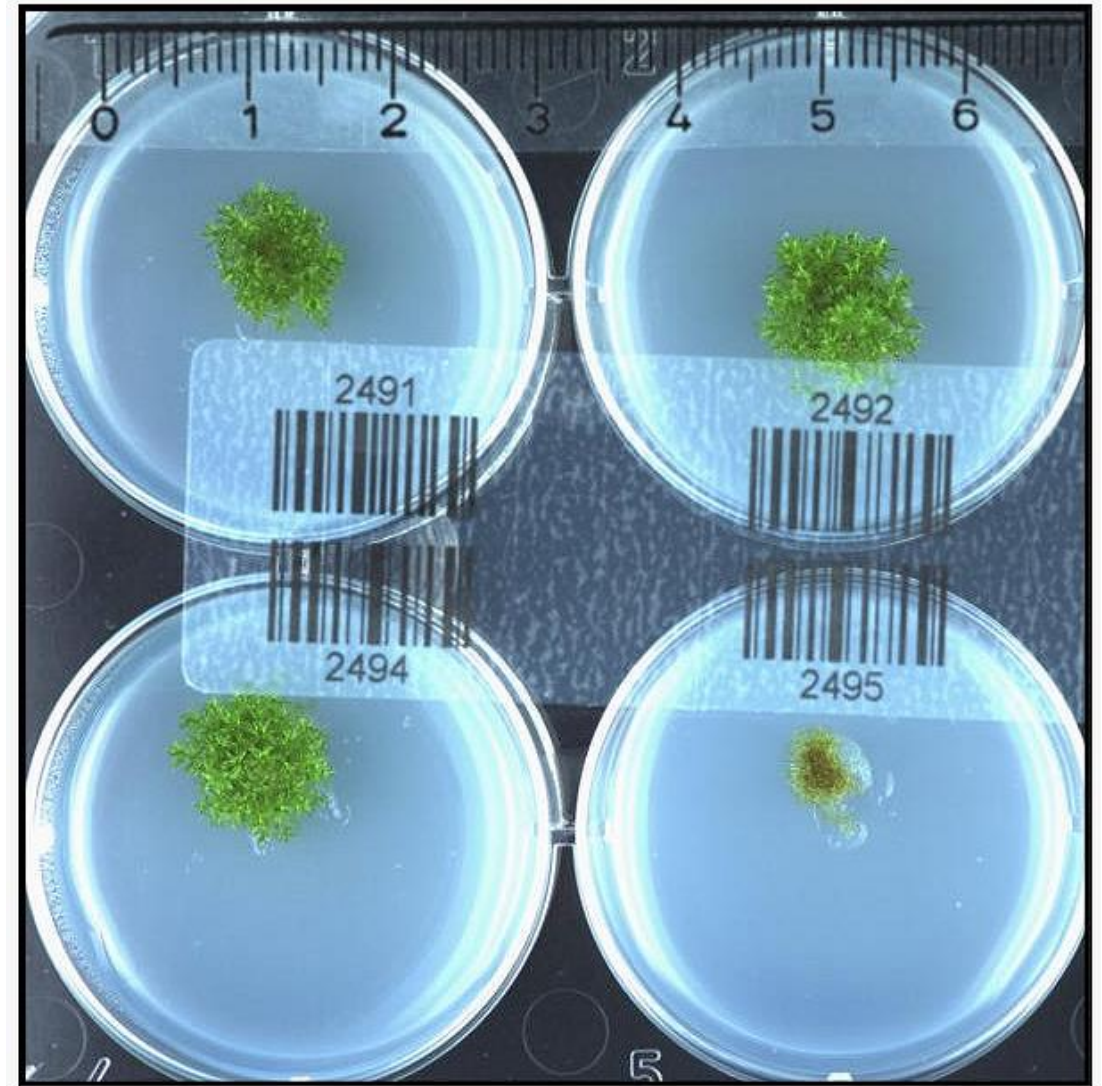
A close-up photograph of moss plants. The image shows several thin, light brown stems rising from a dense carpet of green moss. At the tips of these stems are small, rounded, green capsules, which are the developing spore cases of the moss. The background is softly blurred, showing more of the moss and some other green plant matter. The lighting is bright, highlighting the texture of the moss and the color of the capsules.

Mechy – zkrutek
Physcomitrium patens

Physcomitrium patens

n = 27 chrs, C = 0,46 pg DNA

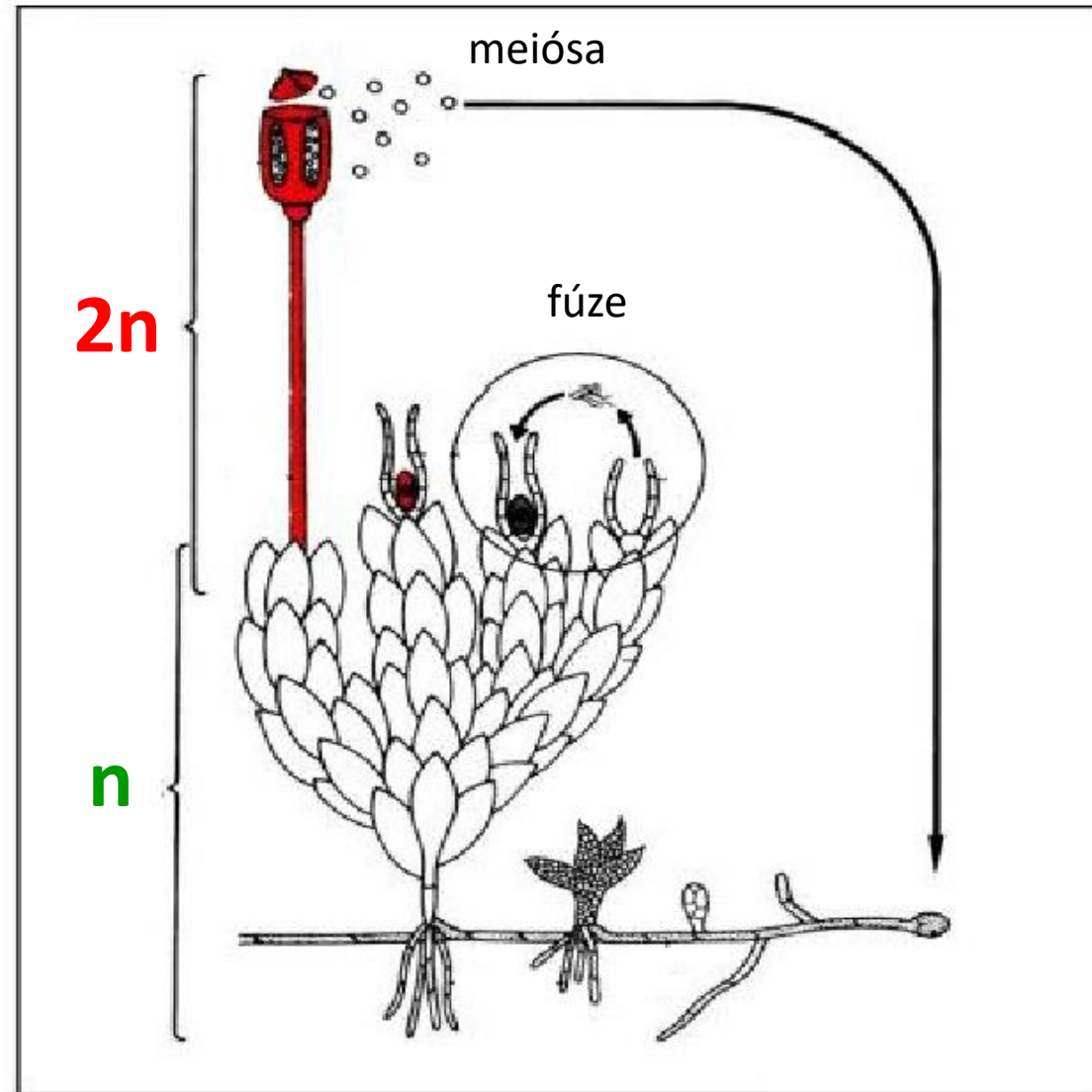
haploidní „tělo“
cílená integrace genů
zelený model 21. st.



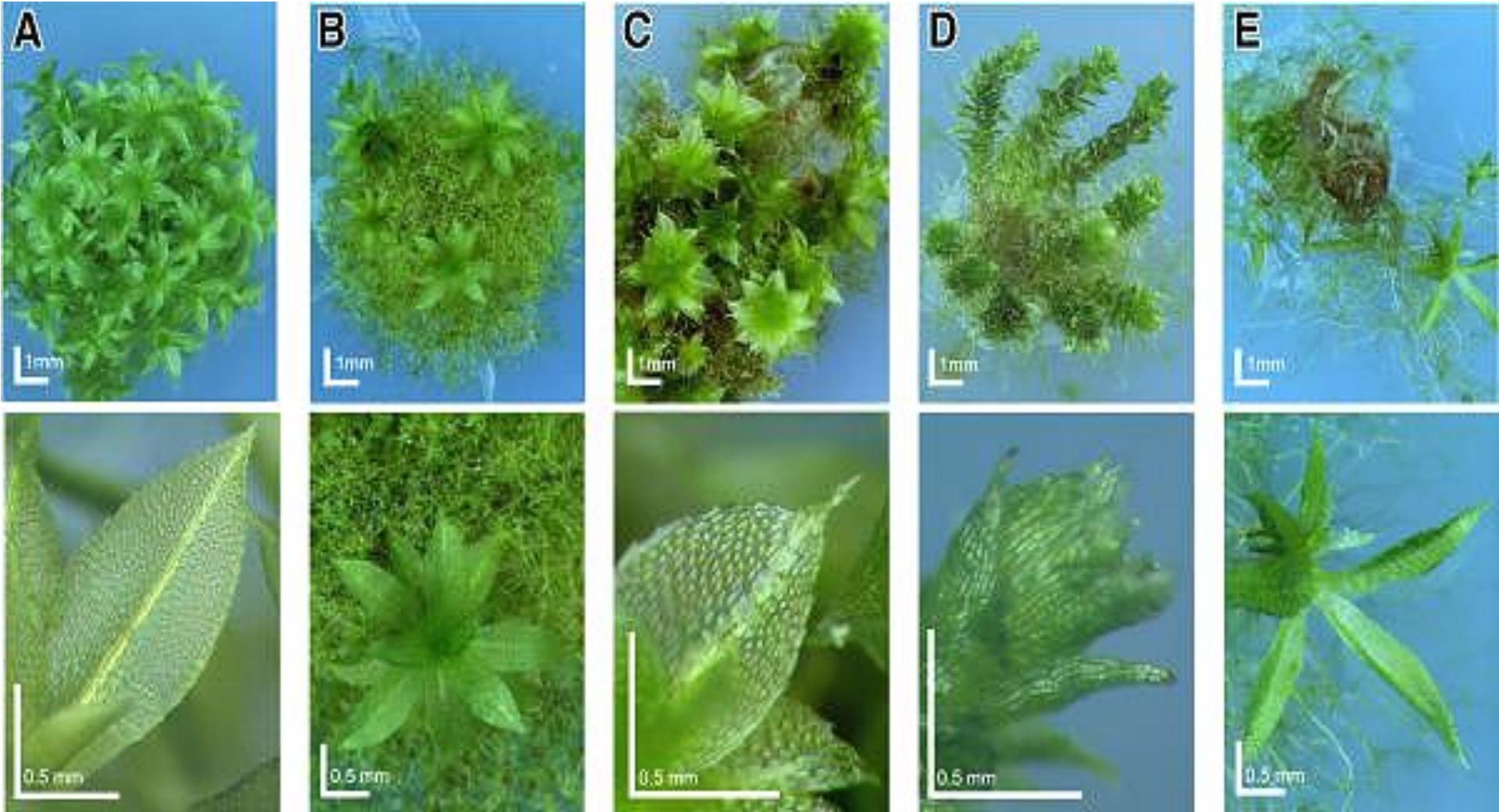
The moss *Physcomitrella patens*: a new tool for plant science



Didier G. Schaefer
U de Lausanne



Izolace mutací s fenotypovým projevem



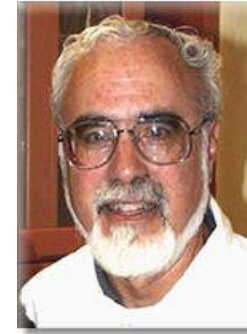
Ceratopteris richardii

„C-fern“

kapradina rohatec

$n = 39$ chrs, $C = 10$ pg

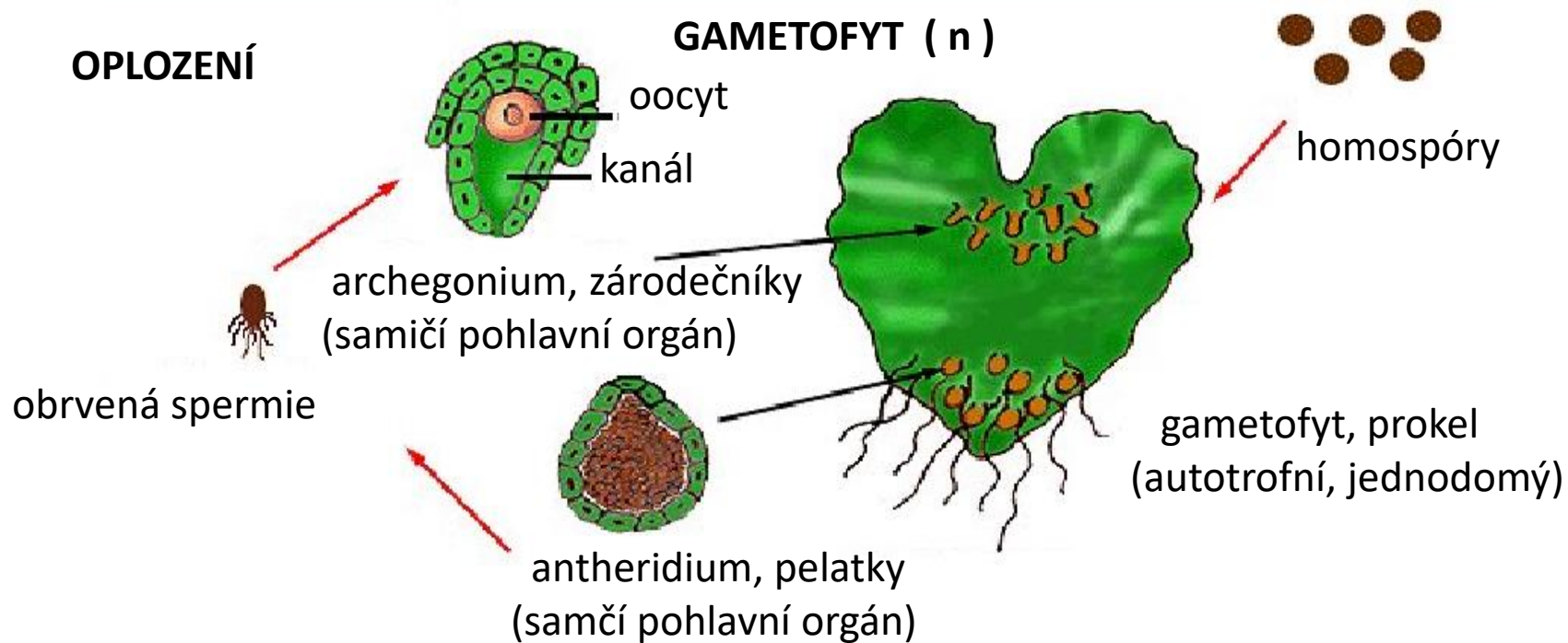
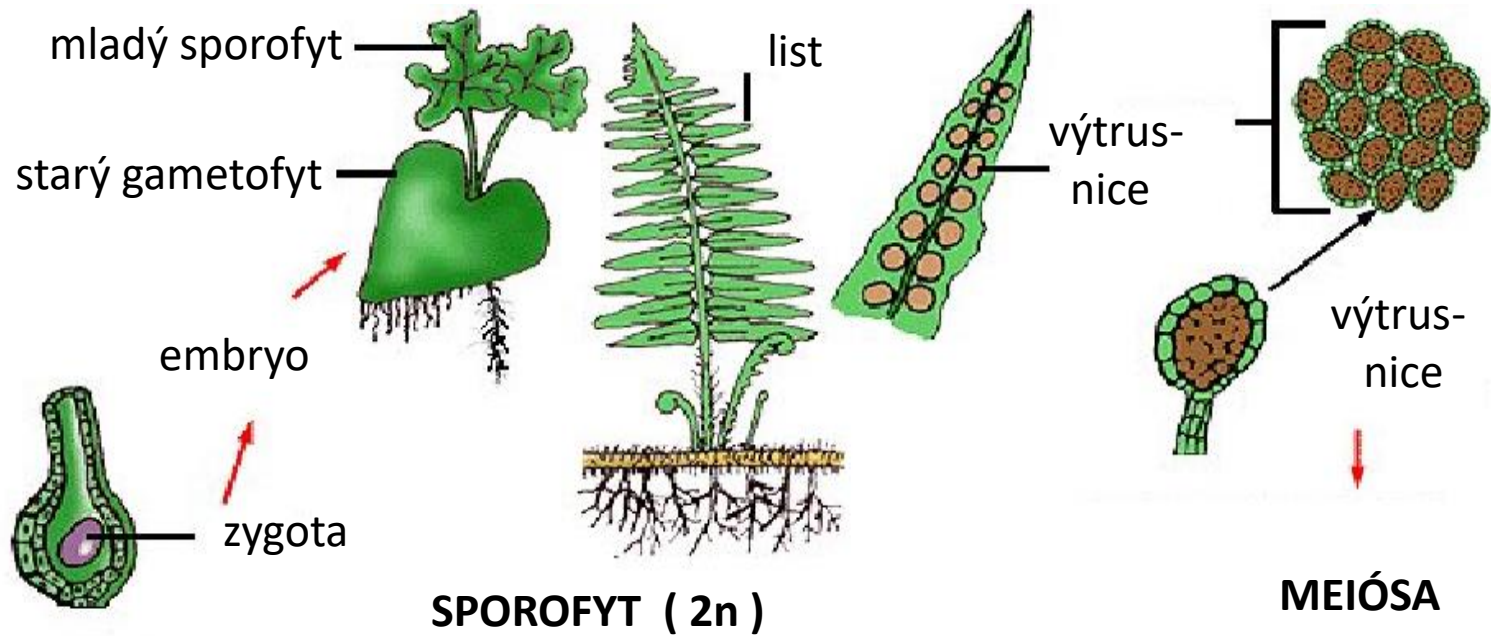
model hormonální sex-determinace (feromon ceratopterin)

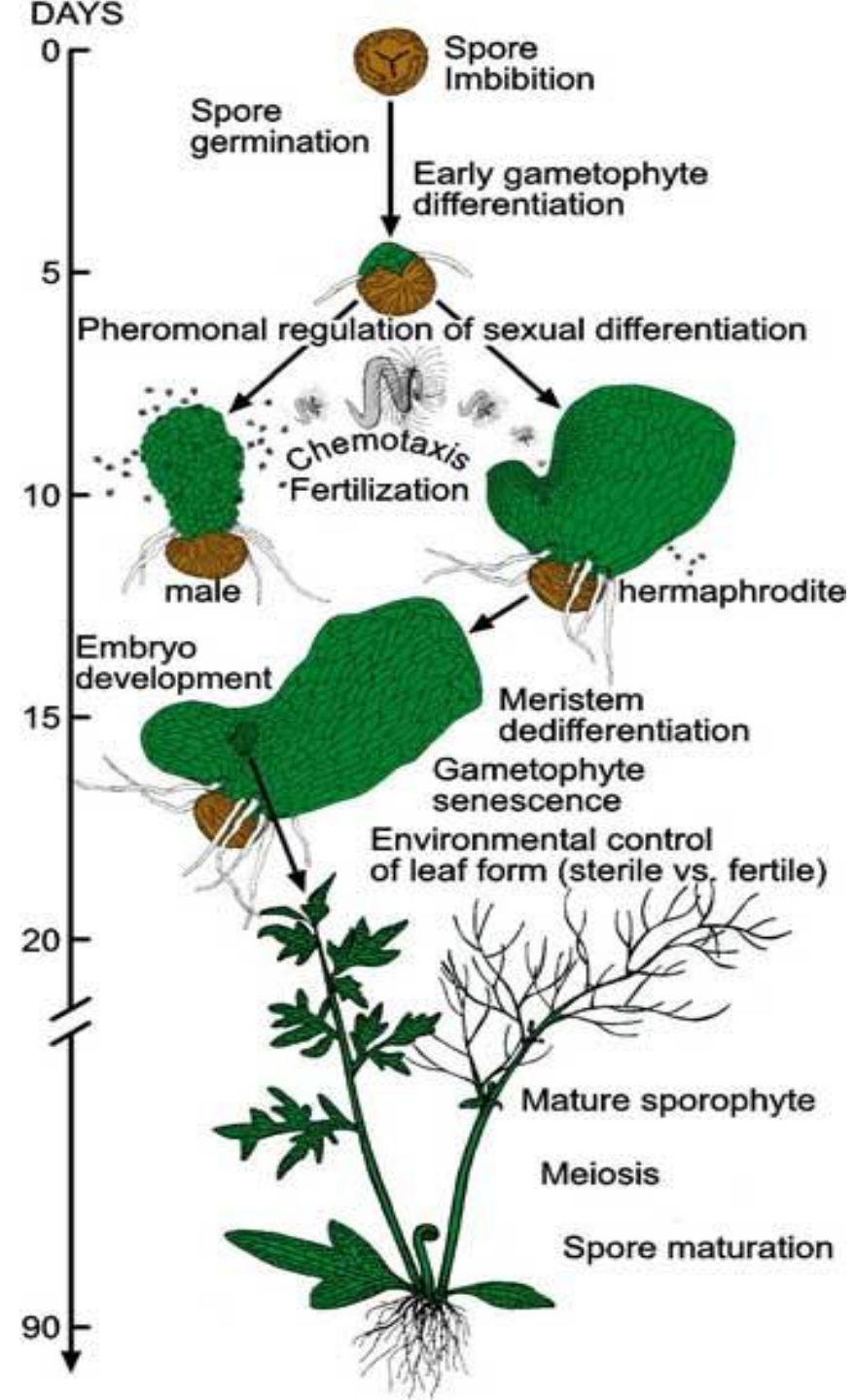
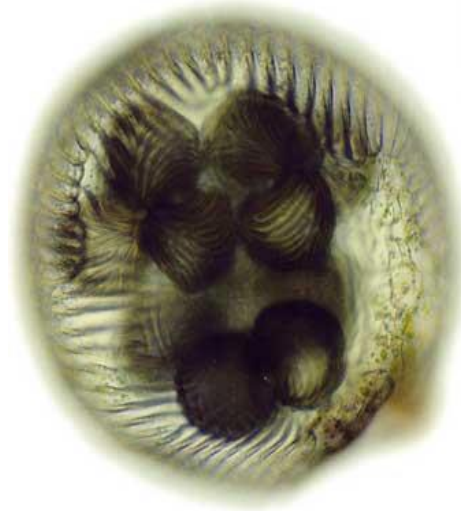
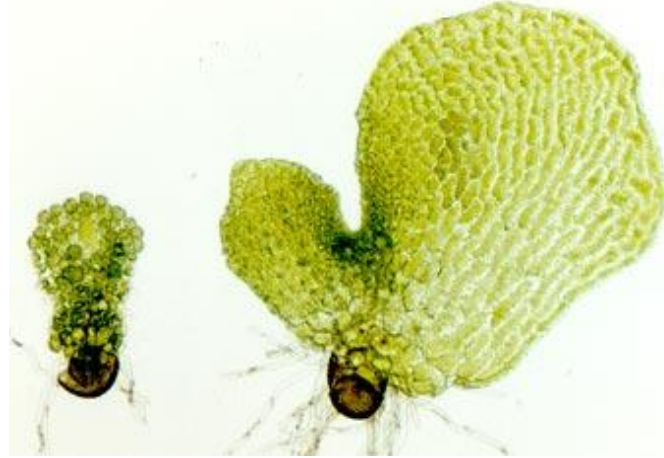
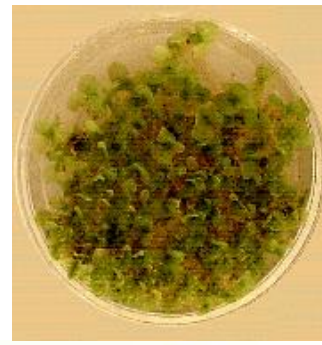


Stan Roux

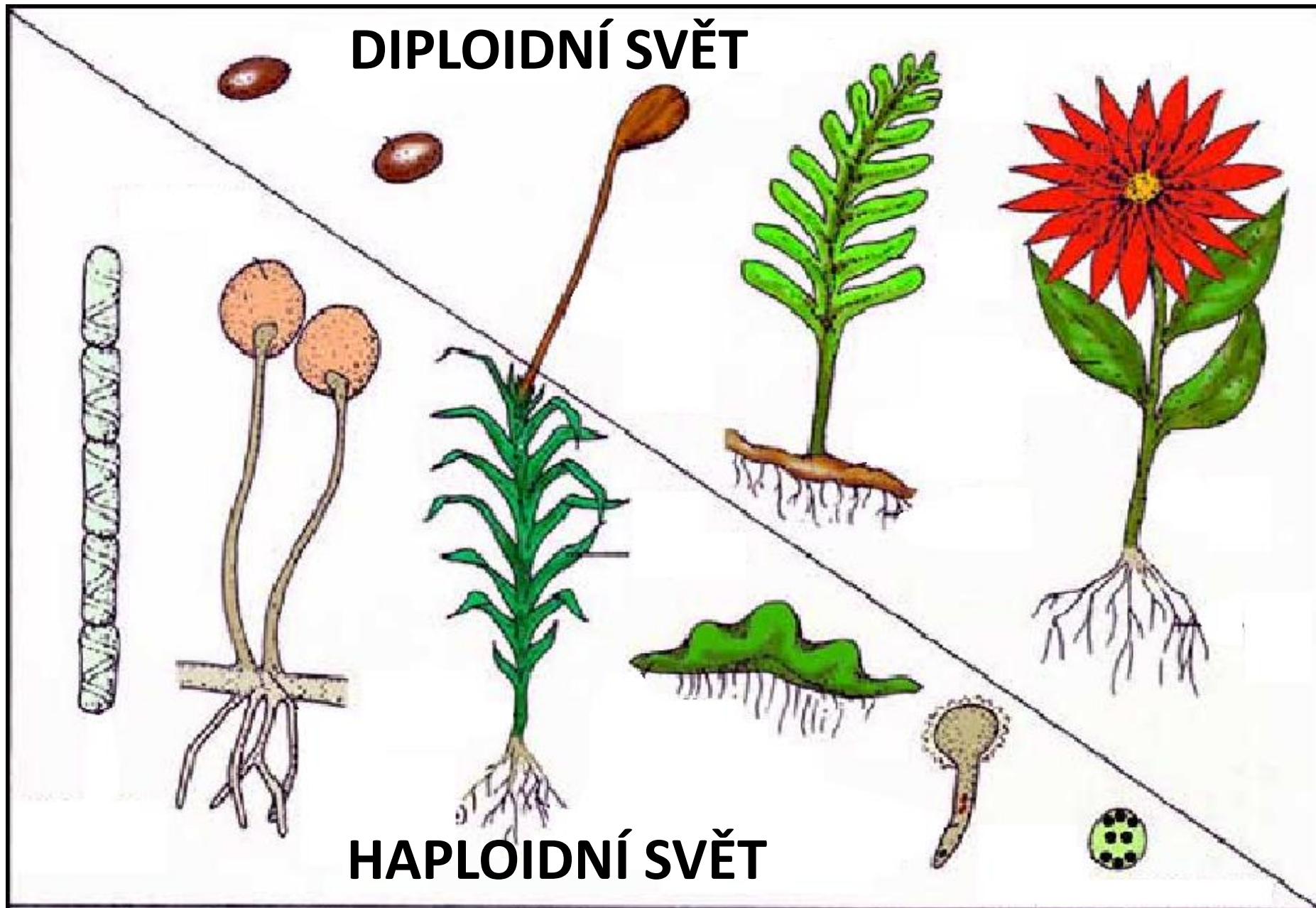
*UT School of Biological Sciences
Molecular Cell and Developmental Biology*







DIPLOIDNÍ SVĚT



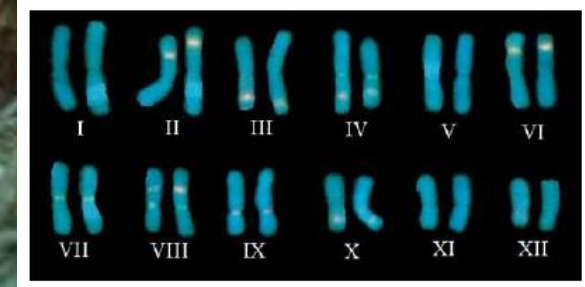
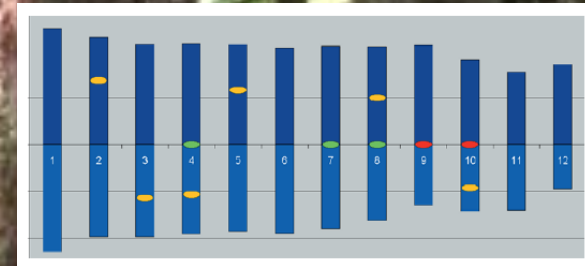
HAPLOIDNÍ SVĚT

řasy houby mechy kapradiny kvetoucí rostliny

nahosemenné rostliny

... *Pinus taeda*, *Picea abies*

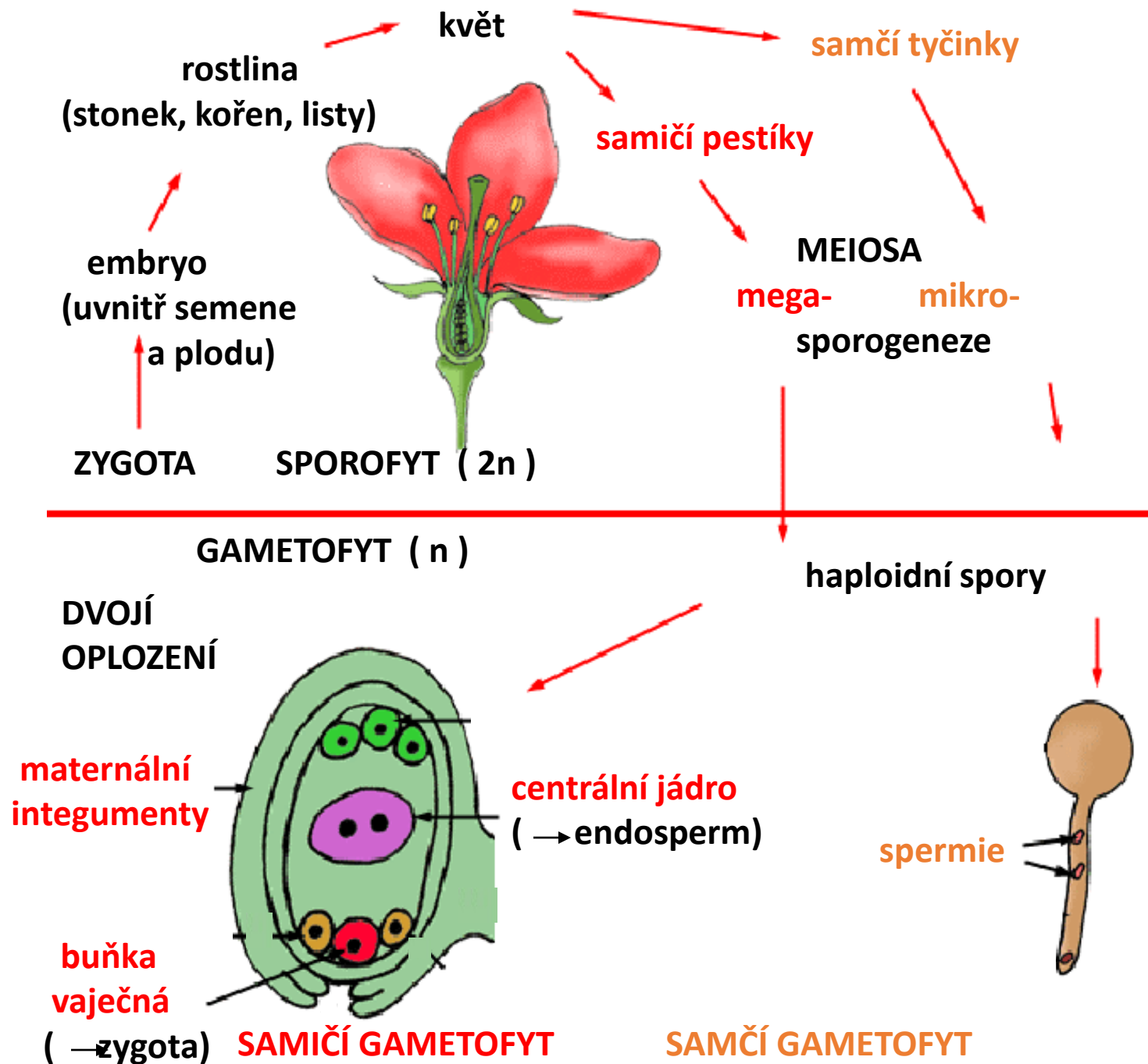
C > 15 pg DNA !



A close-up photograph of a flowering plant with several bright pink flowers. The flowers have five petals and prominent stamens. The background is a dense thicket of green leaves and stems, some of which are out of focus. The text is overlaid on the lower portion of the image.

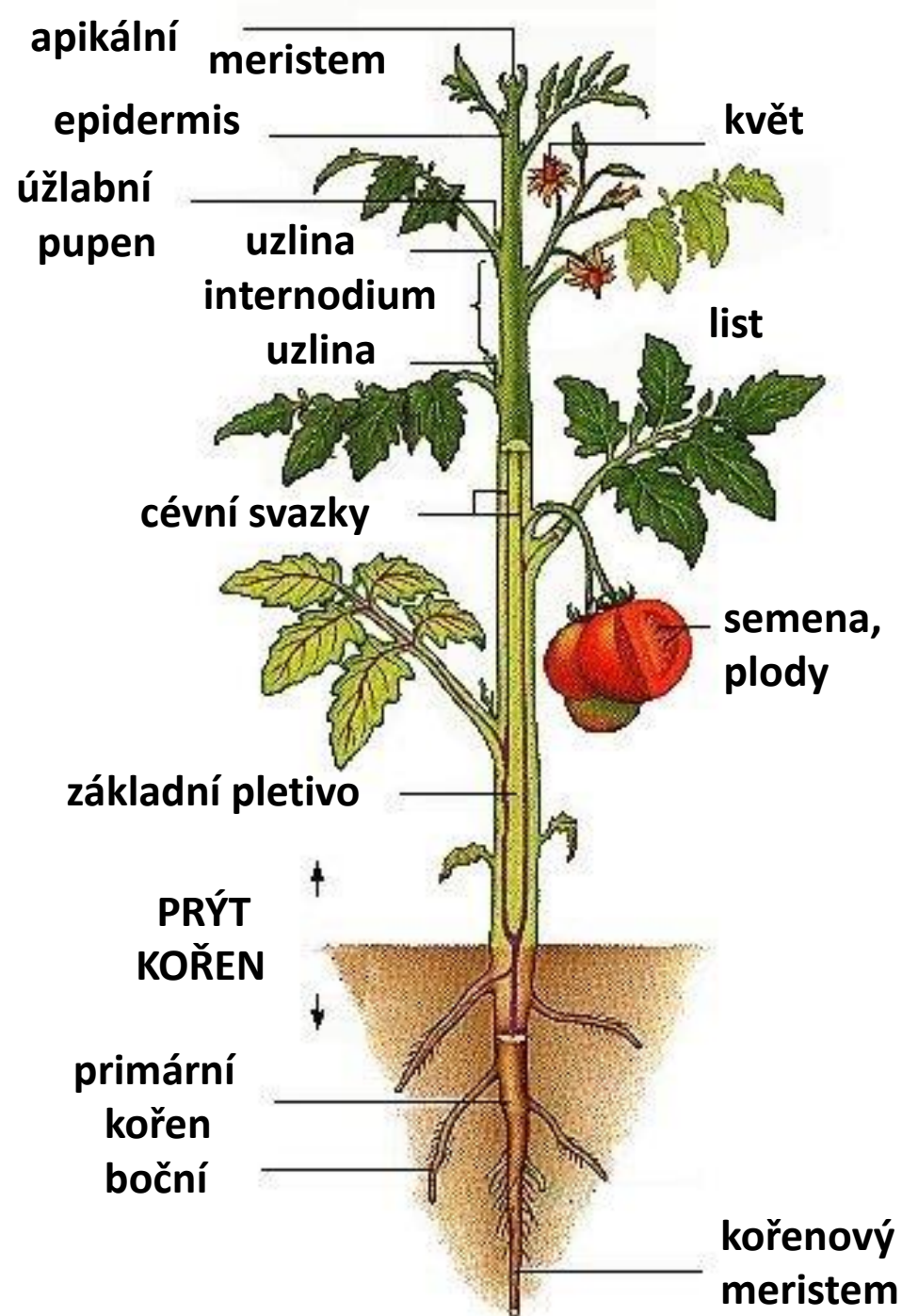
**krytosemenné rostliny
dvojděložné**

Střídání generací u krytosemenných rostlin



**Rostliny mají
segmentované
tělo:**

FYTOMERY





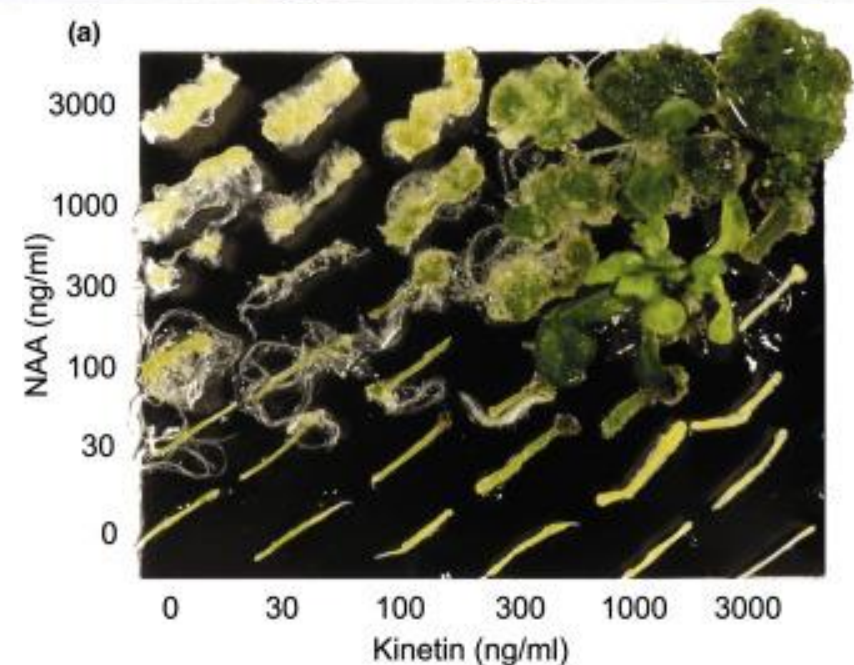
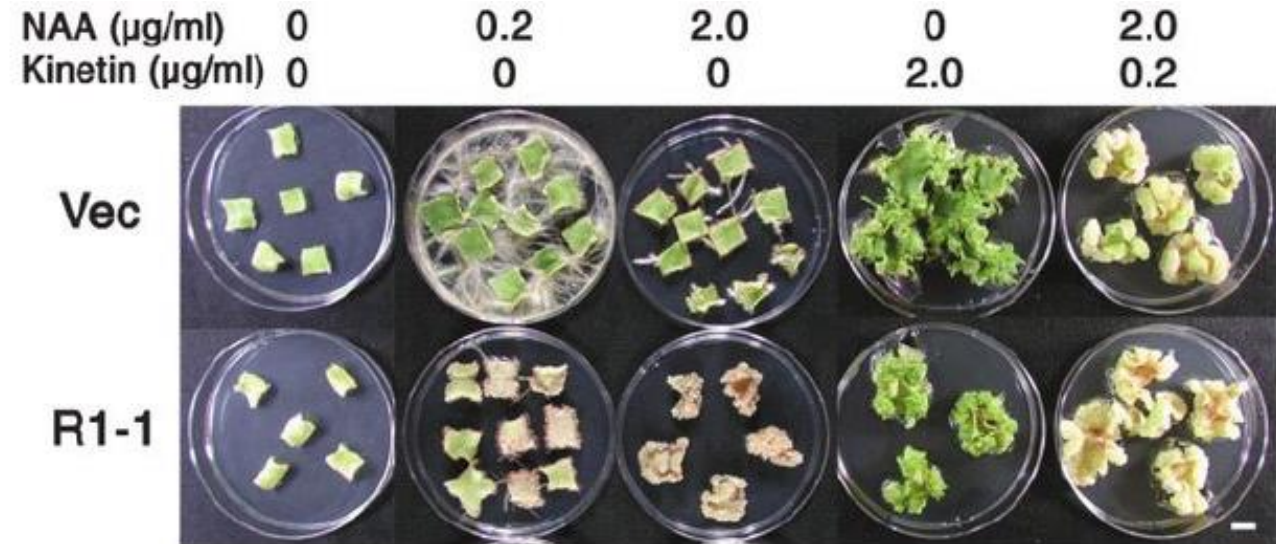
Tabák

...a další rostliny z
čeledi *Solanaceae*

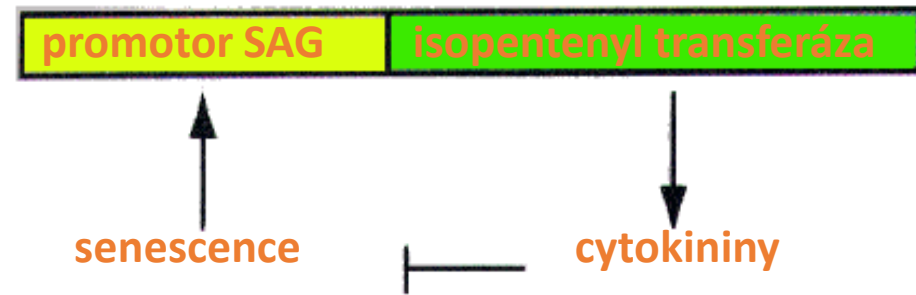


Růstové faktory rostlin či fytohormony

- pleiotropní účinky, tvořeny v jednom pletivu a transportovány do jiného
- nízká koncentrace, velké účinky
 - 6 μg auxinu / 1 kg ananasu
 - jehla na 20 metrů krychlových sena
- funkce jako stimulátor
 - pozitivní či negativní účinek
- stejné hormony mohou vyvolávat odlišné reakce – rozdíly v citlivosti



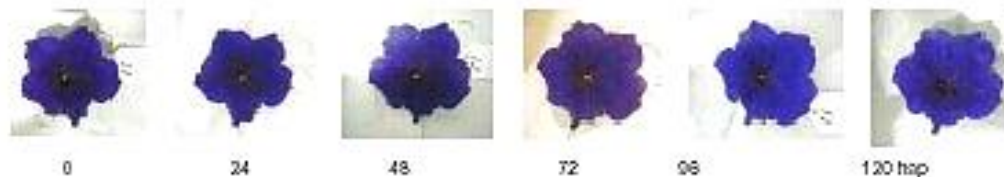
Růstové regulátory rostlin s pleiotropními účinky: cytokininy – hormony dělení buněk a mladosti



Wild type Flowers



Sag12-IPT Flowers



Ric Amasino
(Wisconsin 1995)

Řízená organogeneze ve tkáňové kultuře tabáku



Folke Skoog
(1908-2001)

explantát

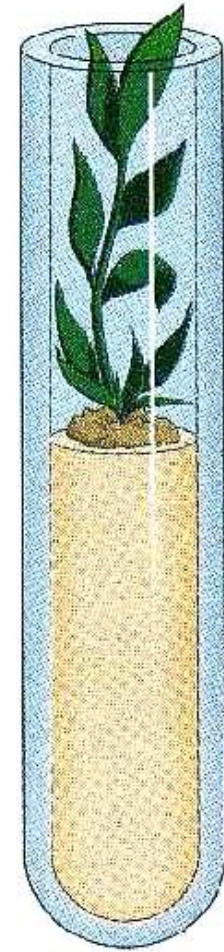
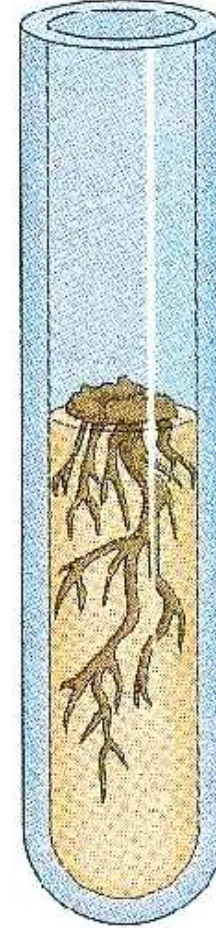
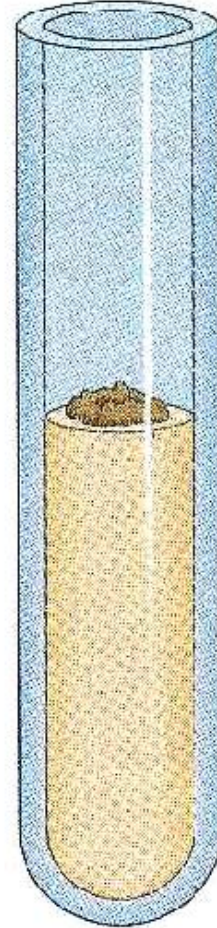
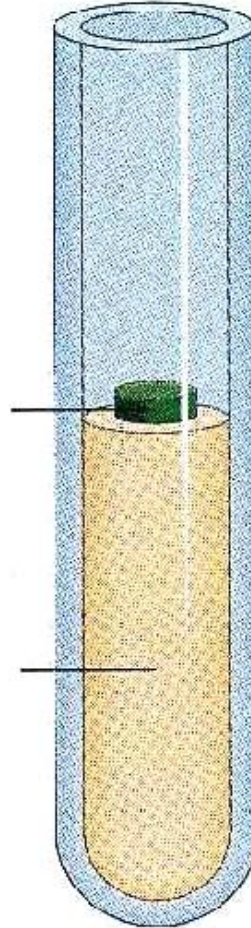
živný
agar

žádný růst

kalus

kořeny

prýty



auxin

0

vysoká

vysoká

nízká

cytokinin

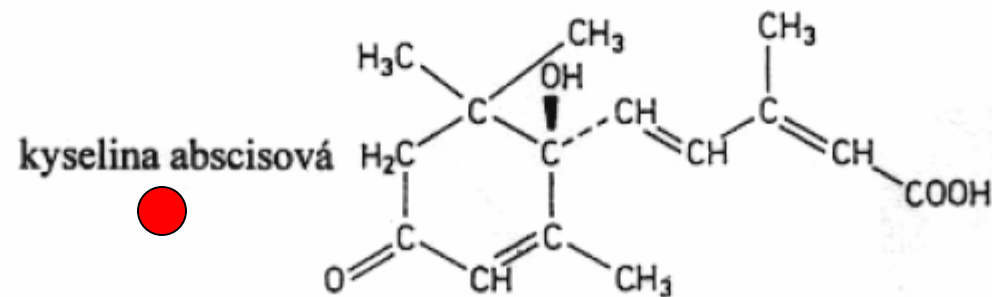
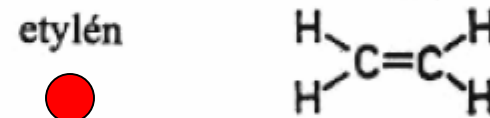
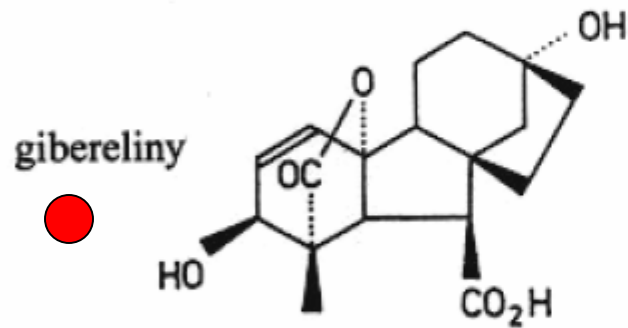
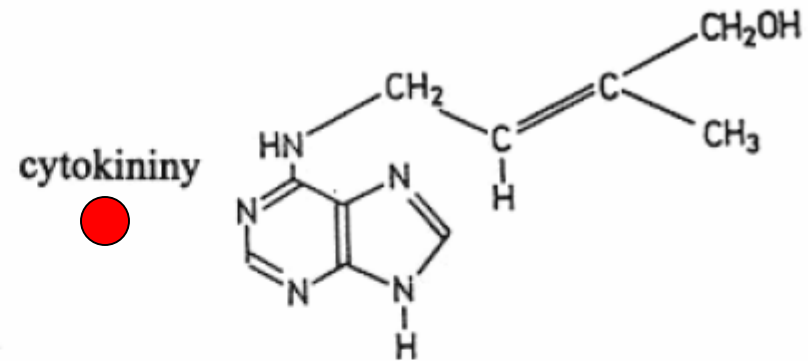
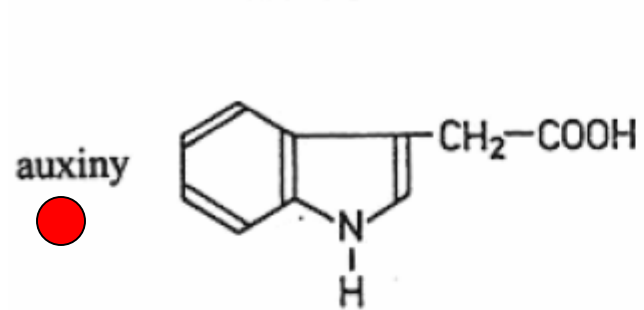
0

vysoká

nízká

vysoká

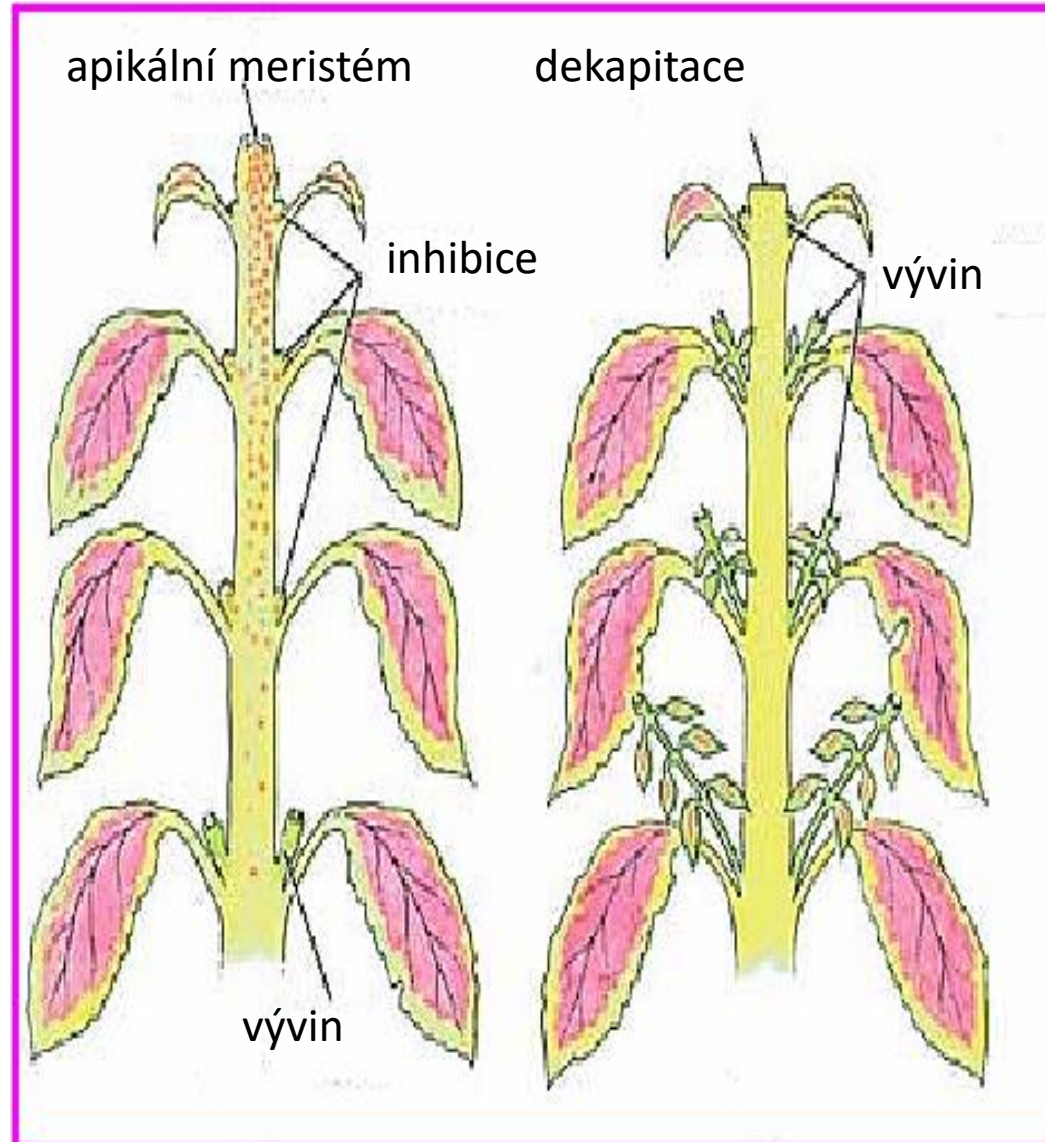
Hlavní skupiny rostlinných hormonů



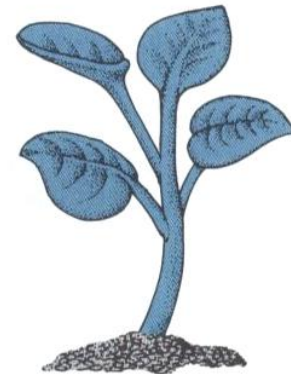
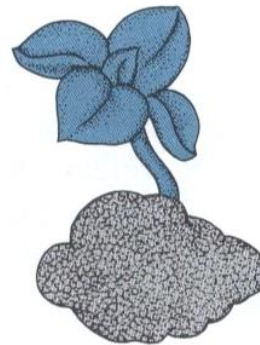
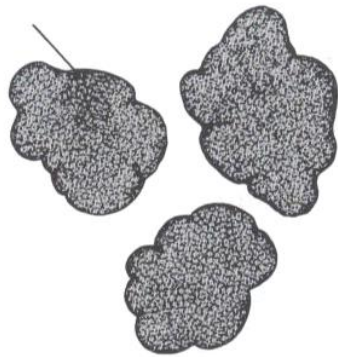
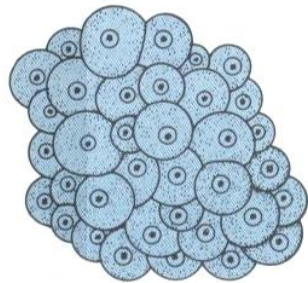
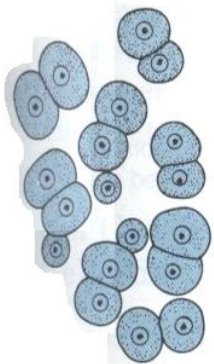
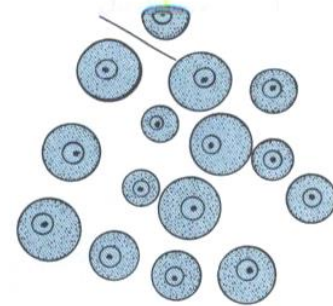
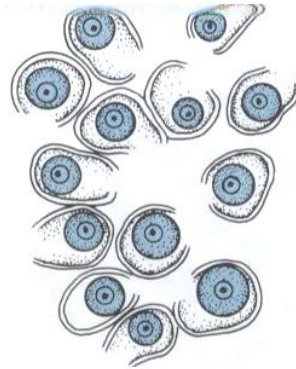
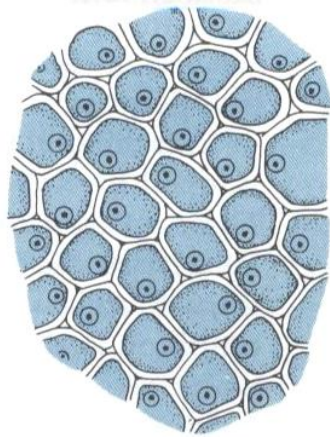
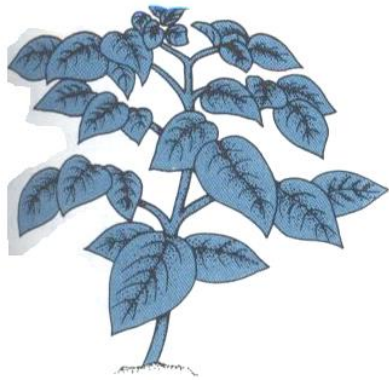
Apikální dominance řízená auxinem

auxin tvořený v apikálu se šíří stonkem dolů, inhibující vývin úžlabních pupenů

koncentrace auxinu klesá směrem dolů, kde axilární pupeny se uvolňují z inhibice a vytvářejí laterální prýty

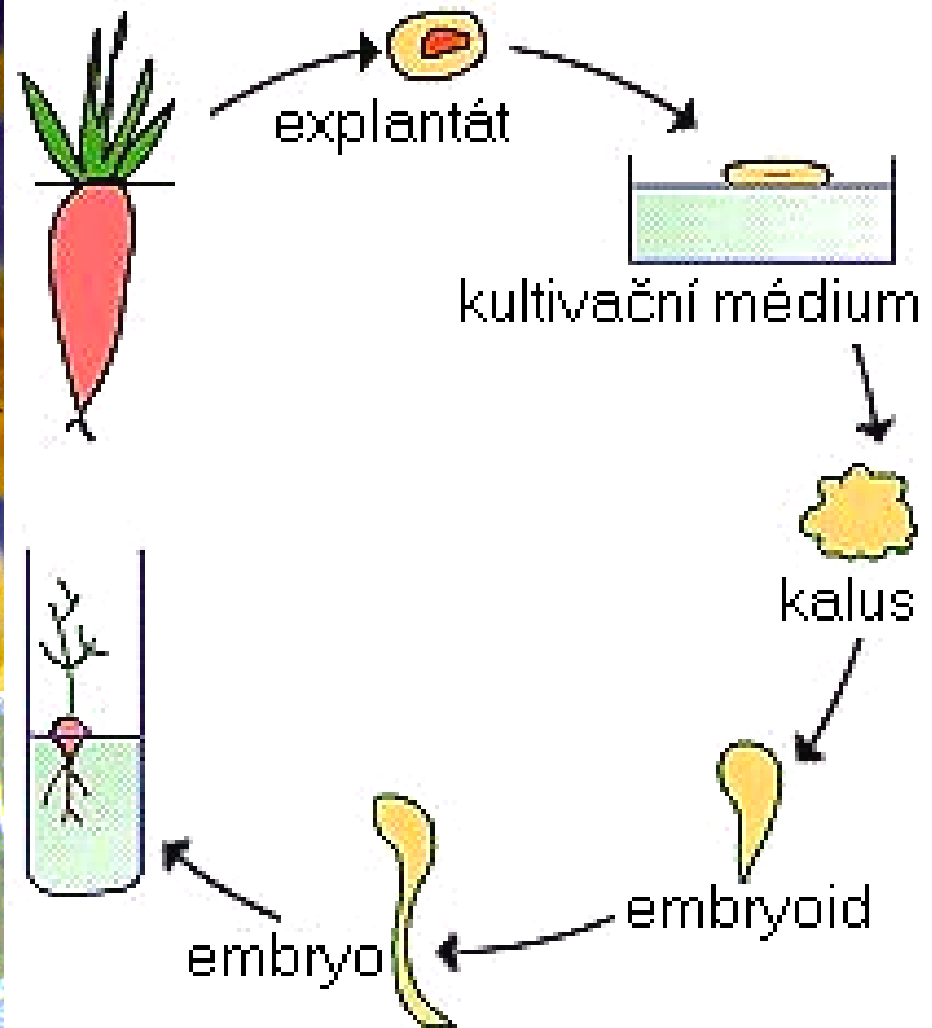
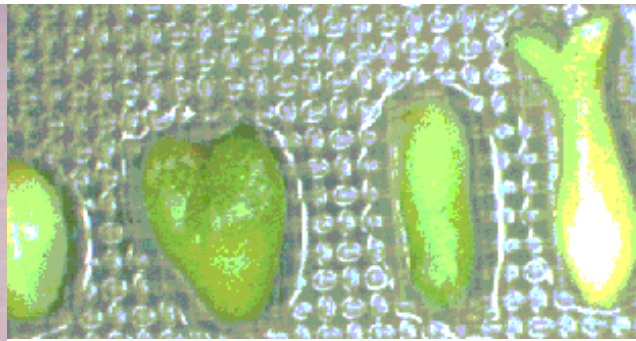
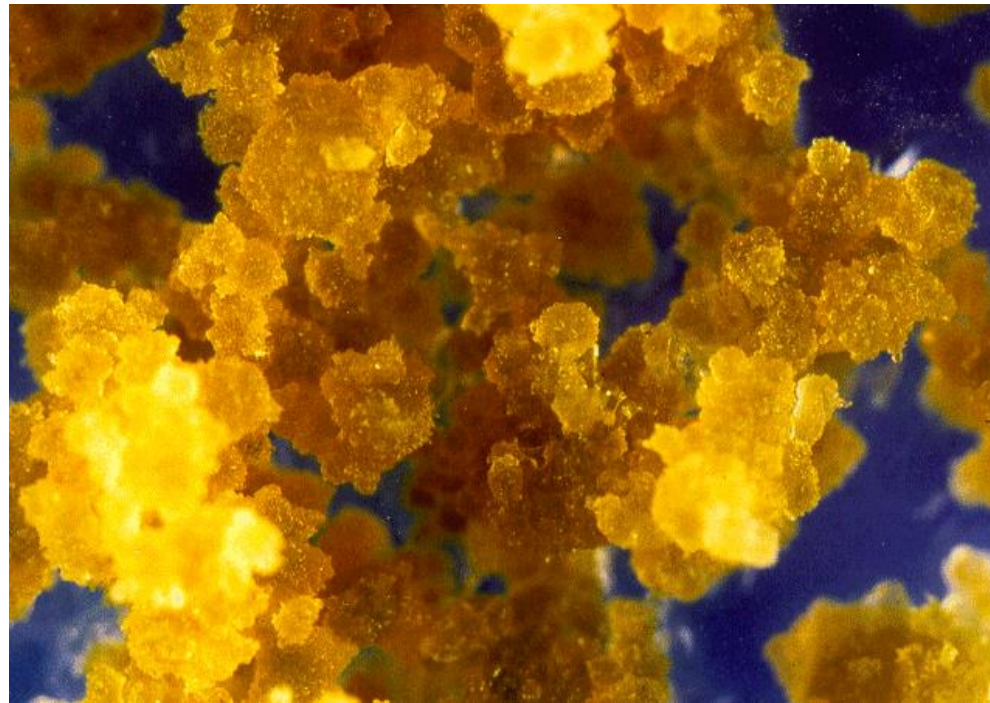


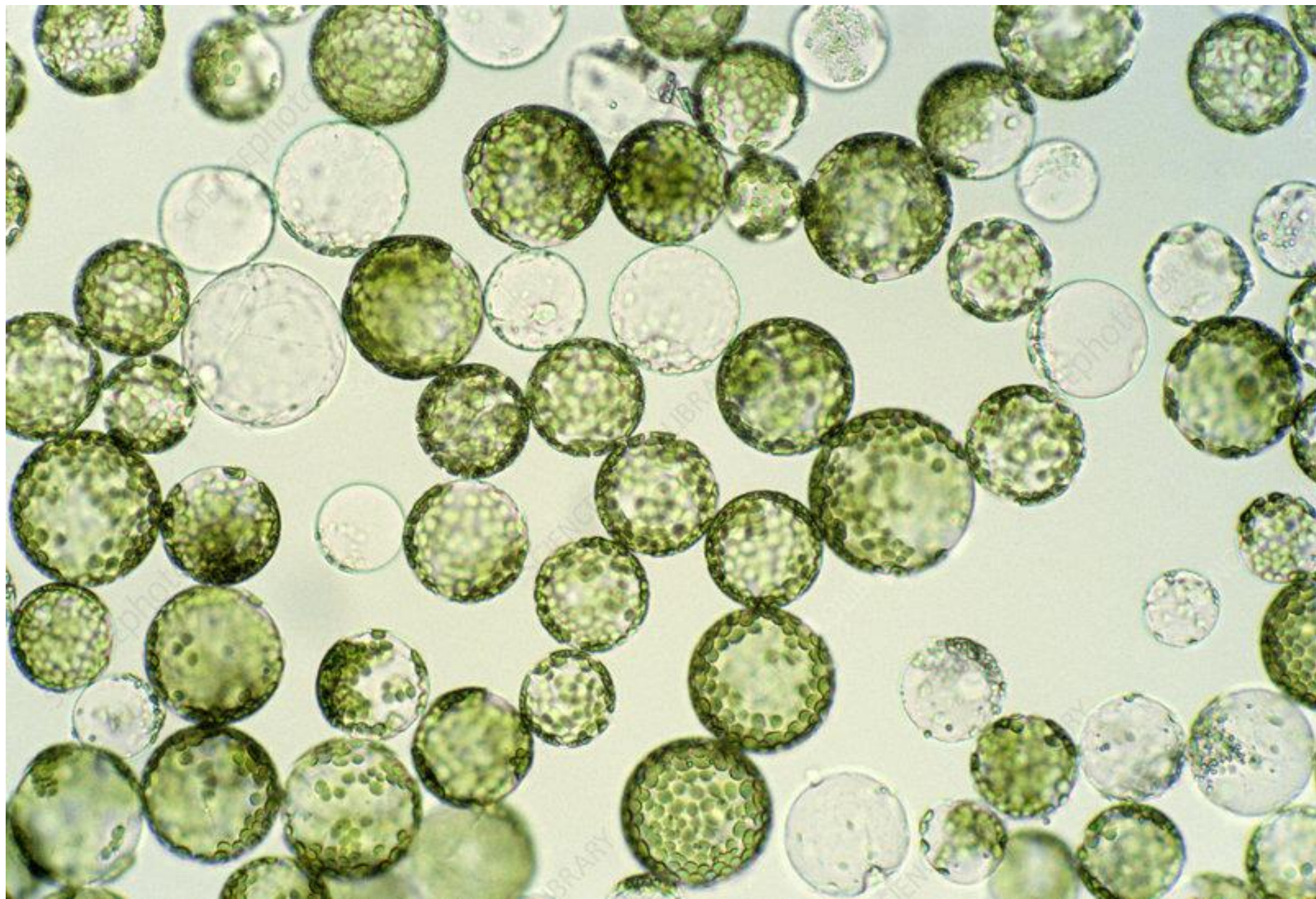
ROSTLINNÉ BUŇKY JSOU TOTIPOTENTNÍ

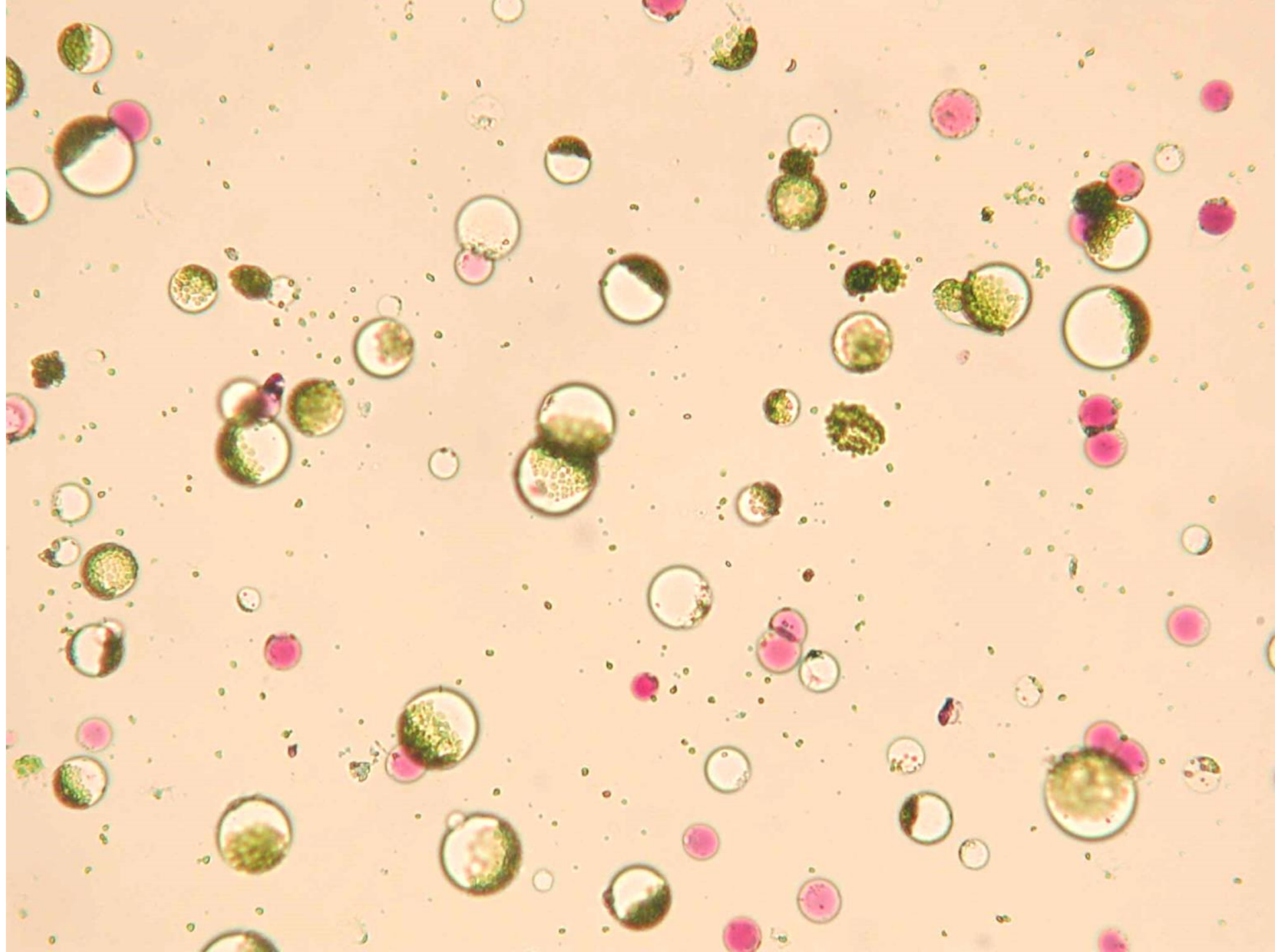


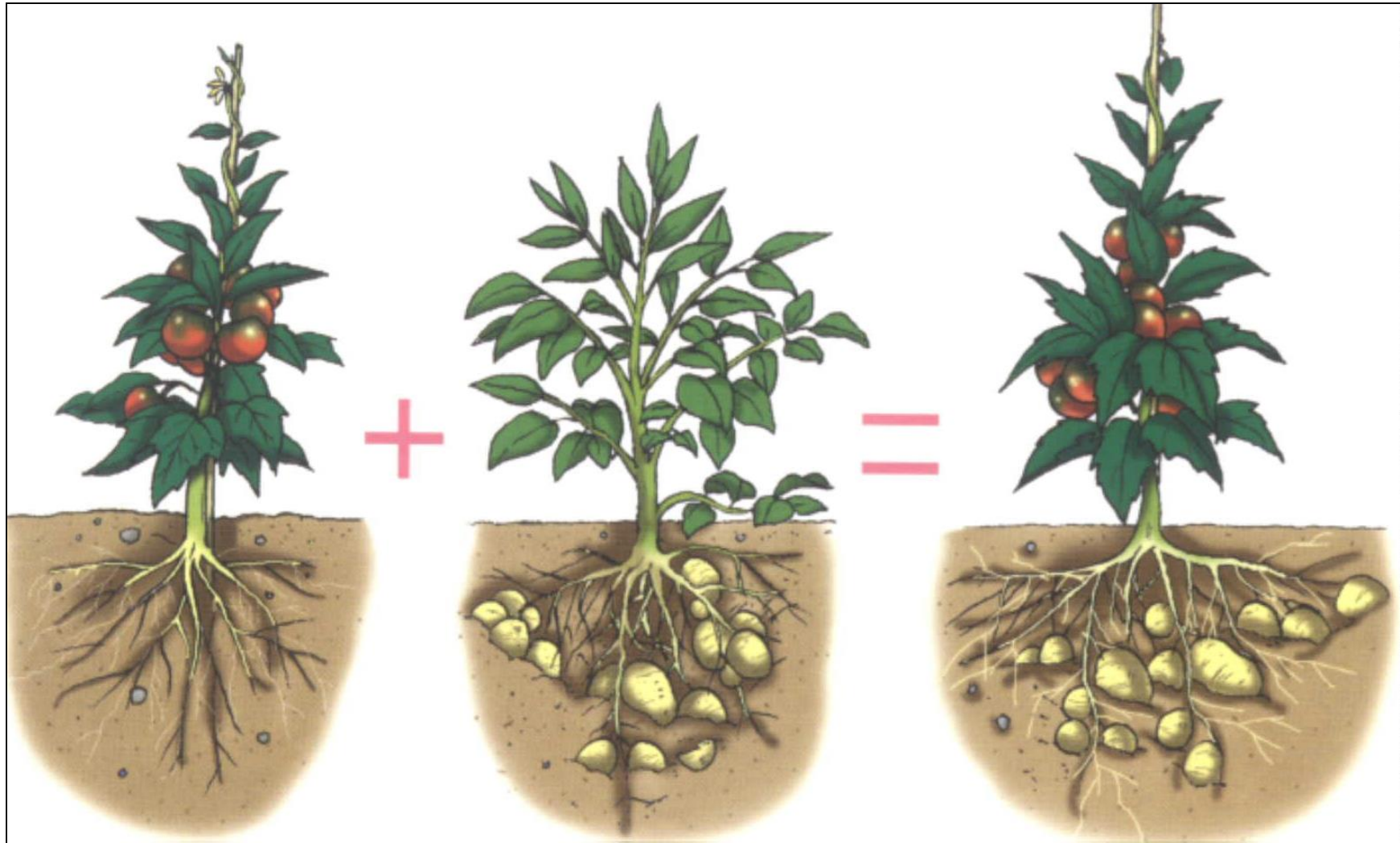
Reprodukce bez sexu - klonování

vegetativní množení *in vitro* provázeno somaklonální variabilitou









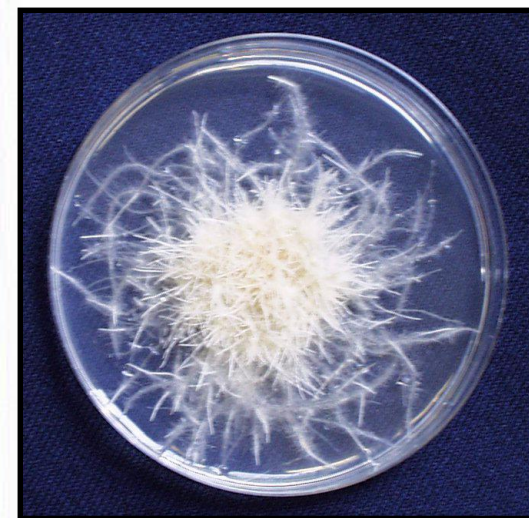
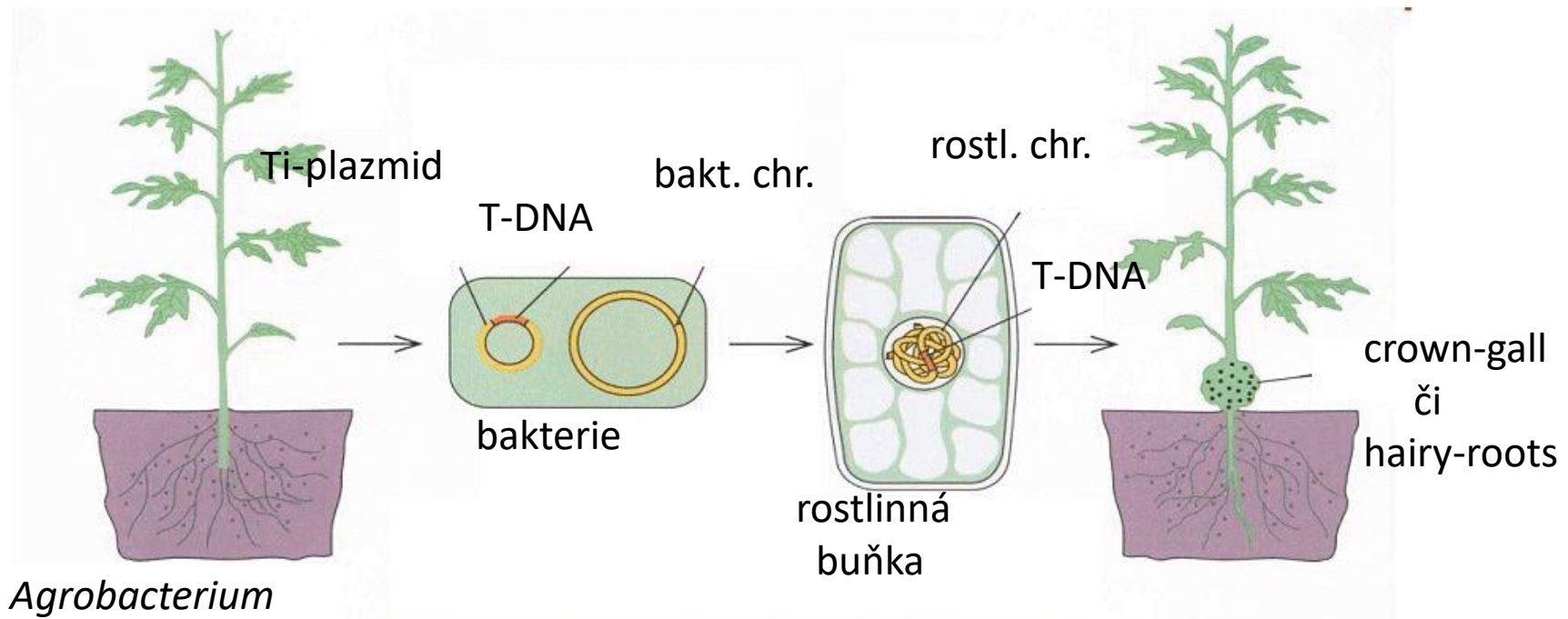
TOMATO
rajče

+

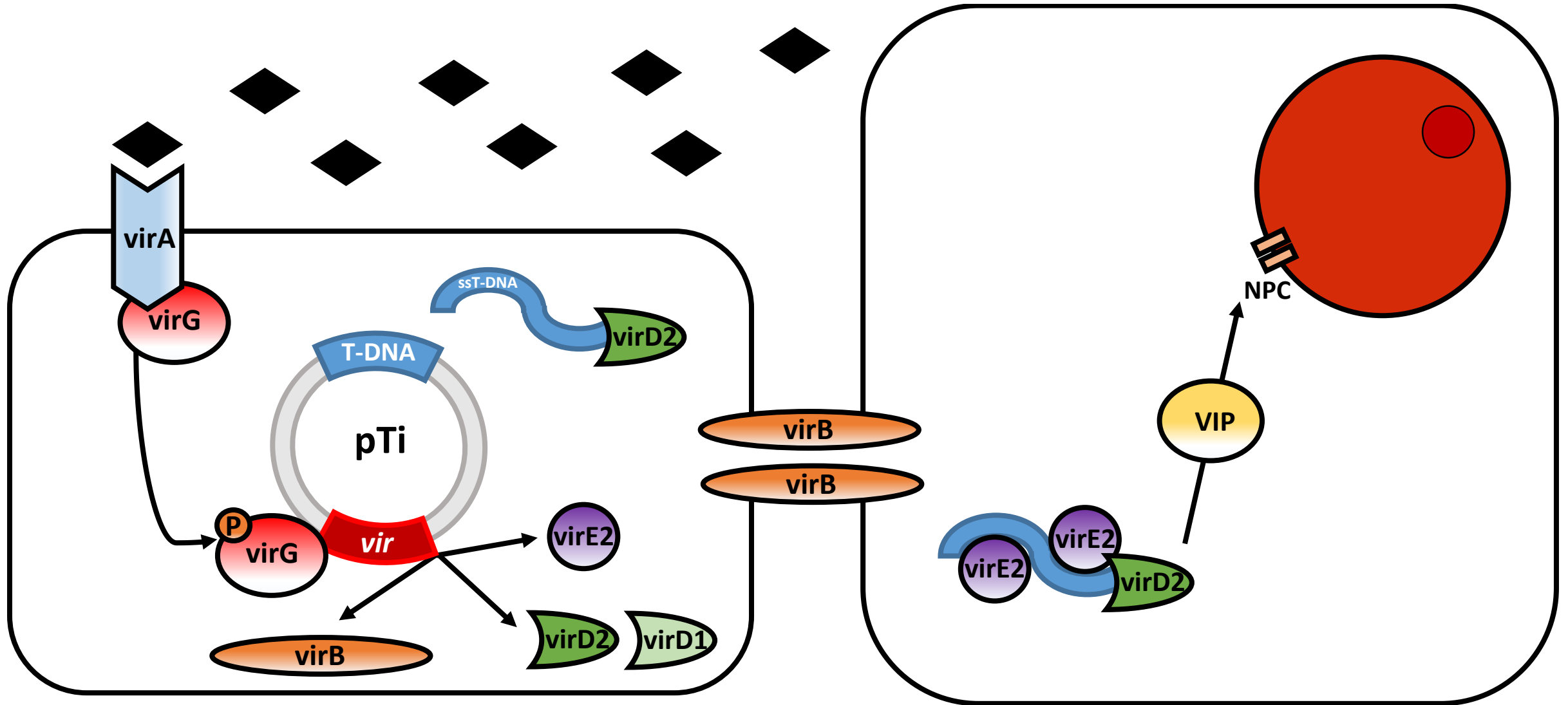
POTATO
brambor

=

POMATO
brajče



Agrobacterium tumefaciens

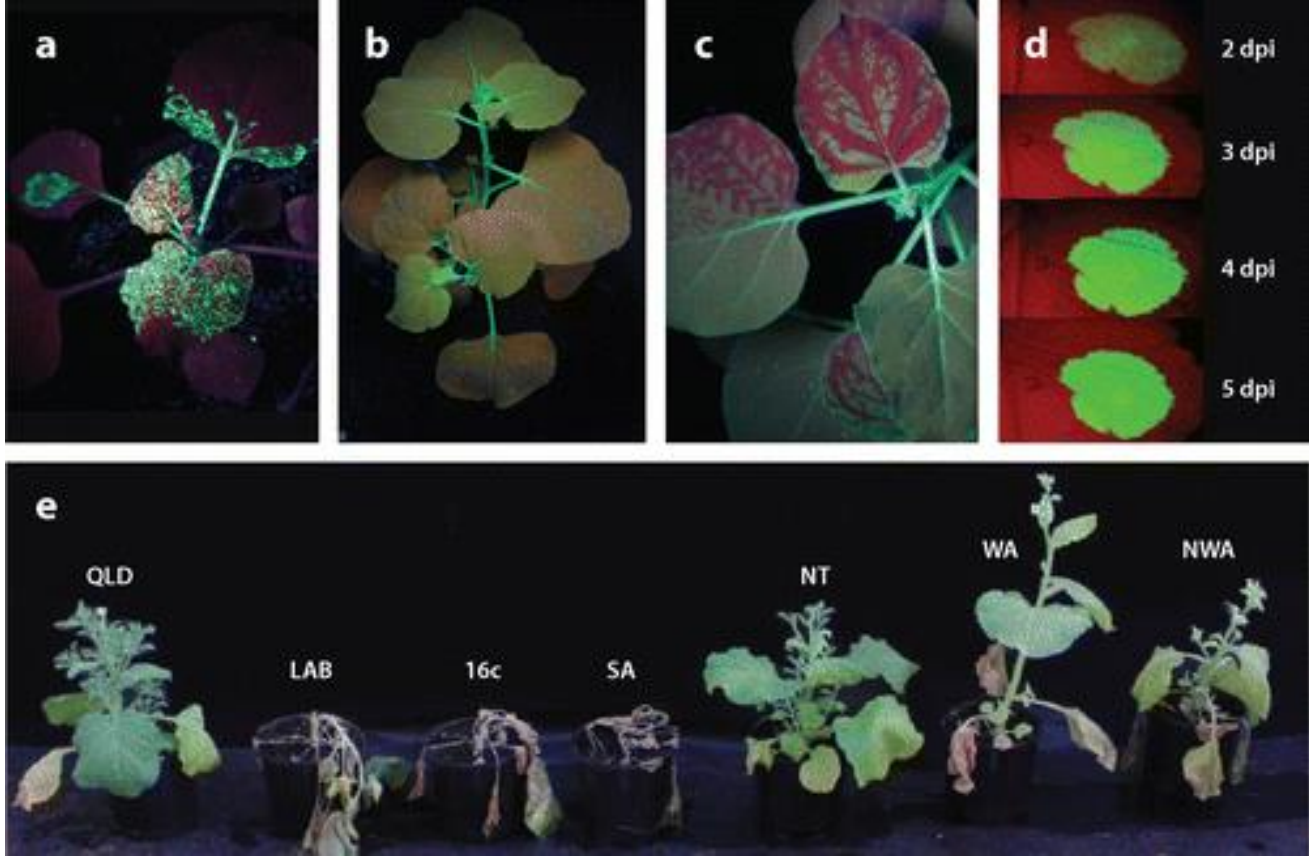
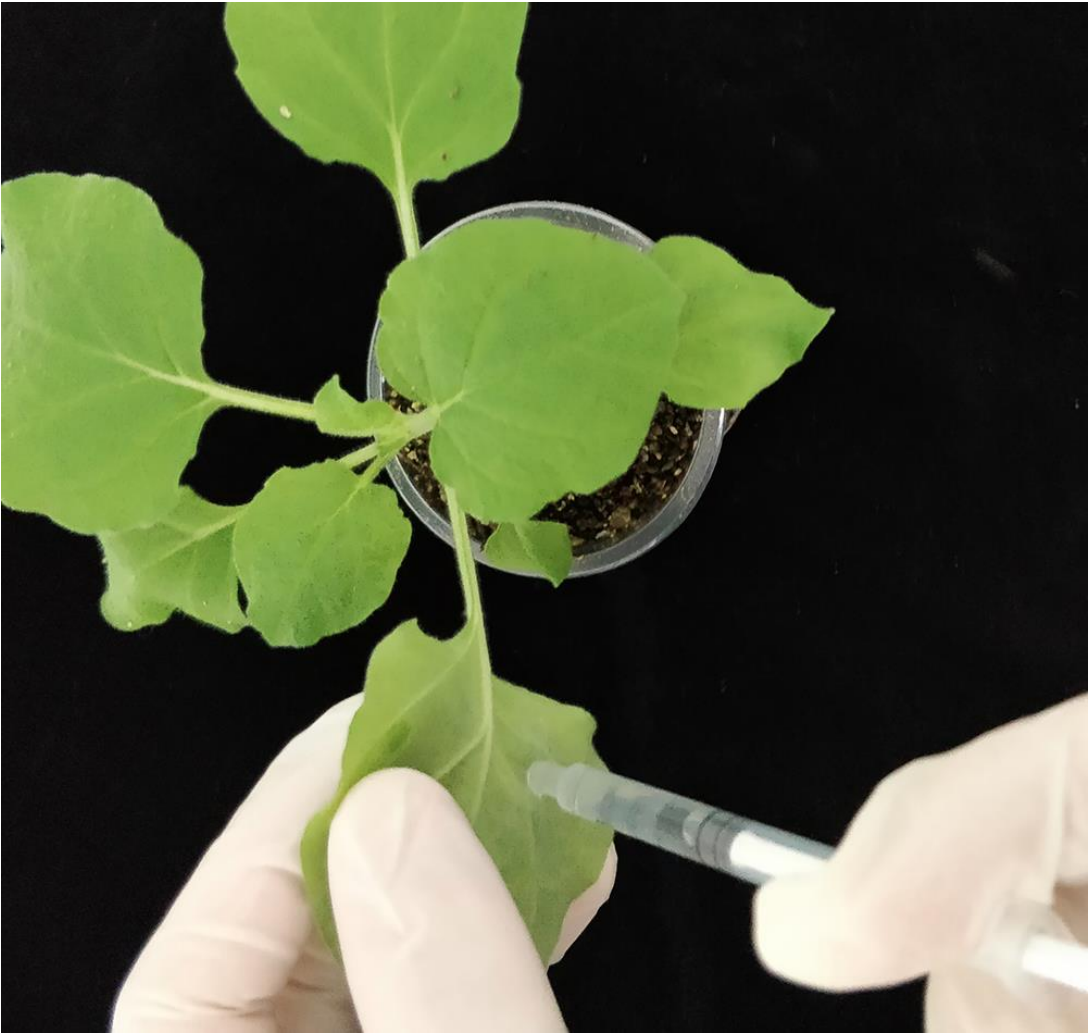


Agrobacterium cell

Plant cell

Tinland et al., 1995
Pitzschke and Hirt, 2010

Nicotiana benthamiana



Petunia

Petunia transposon
biology & technology



Self-Incompatibility

Floral pigmentation

Ecology & taxonomy:
Pollination syndromes
Speciation/adaptation



Genetics of
floral development

Petal senescence



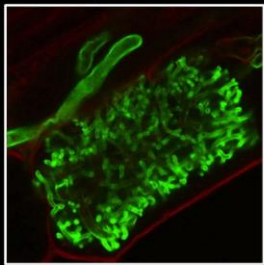
Floral Volatiles

Genetics of
inflorescence architecture

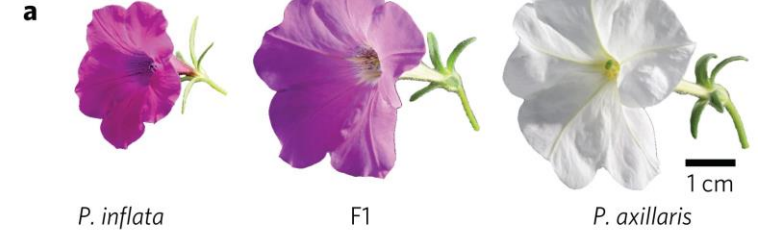
Genetics of branching

Biotic and abiotic stress

Mycorrhiza-plant
interactions



Adventitious root
formation

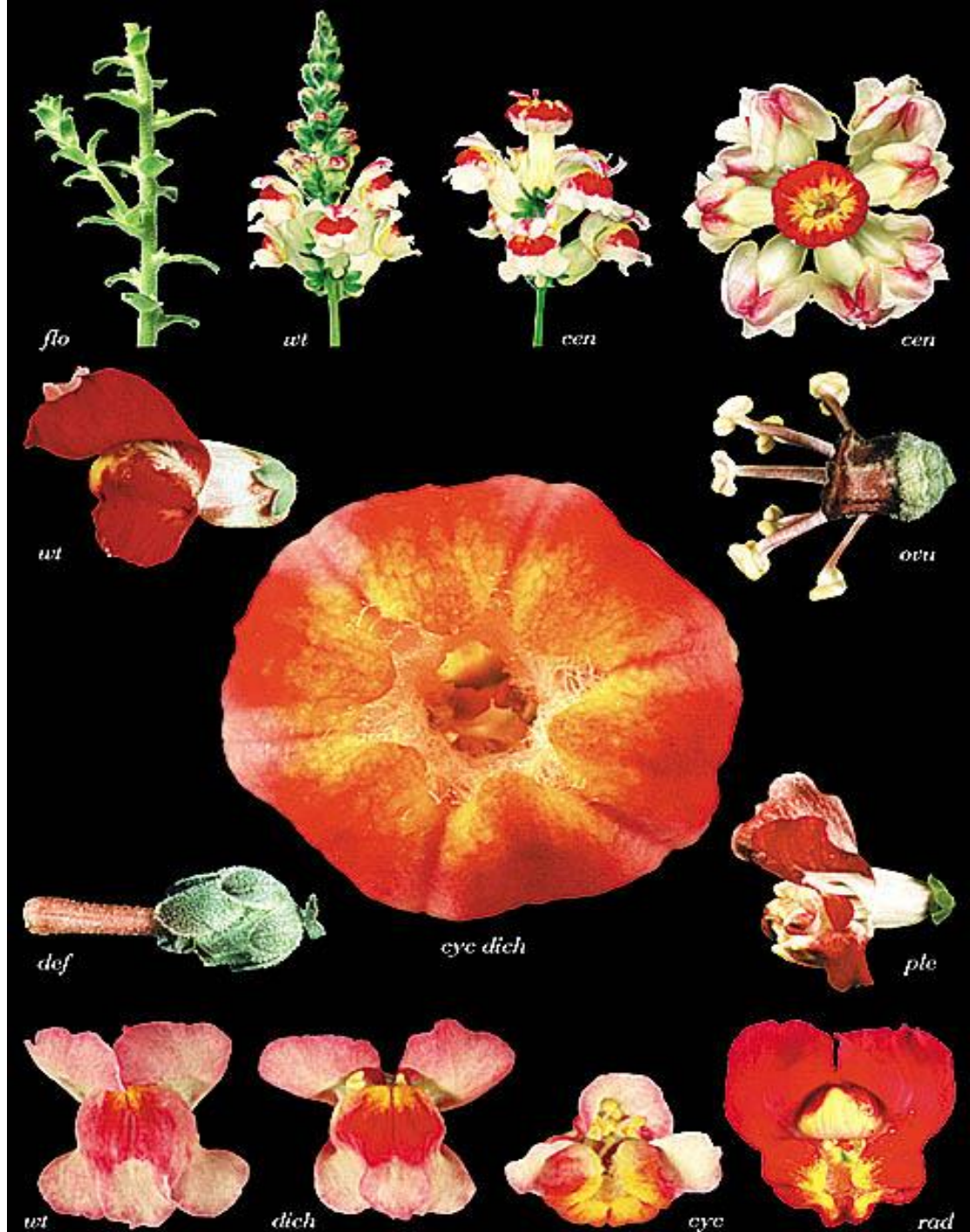


Lotus japonicus



Hledík – model květního vývoje

Antirrhinum majus





Linaria

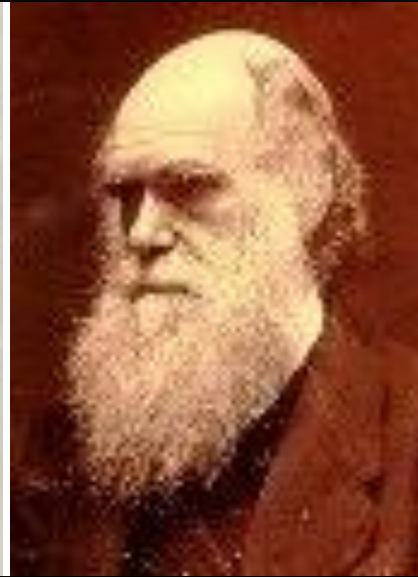
Vznik a dědičnost rostlinných monster: (epi)mutace



Carl Linnaeus
(1707–1778)



Jean-Baptiste Lamarck
(1744–1829)



Charles Darwin
(1809–1882)



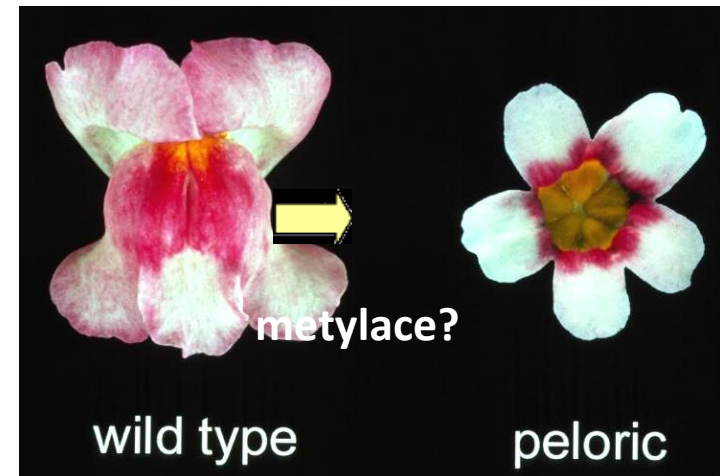
Enrico Coen
(1999)

Linnaeus ... pelorie u Inice, historicky první doložená mutace? (1744)

Lamarck ... dědičnost získaných znaků (*Philosophie Zoologique* 1801)

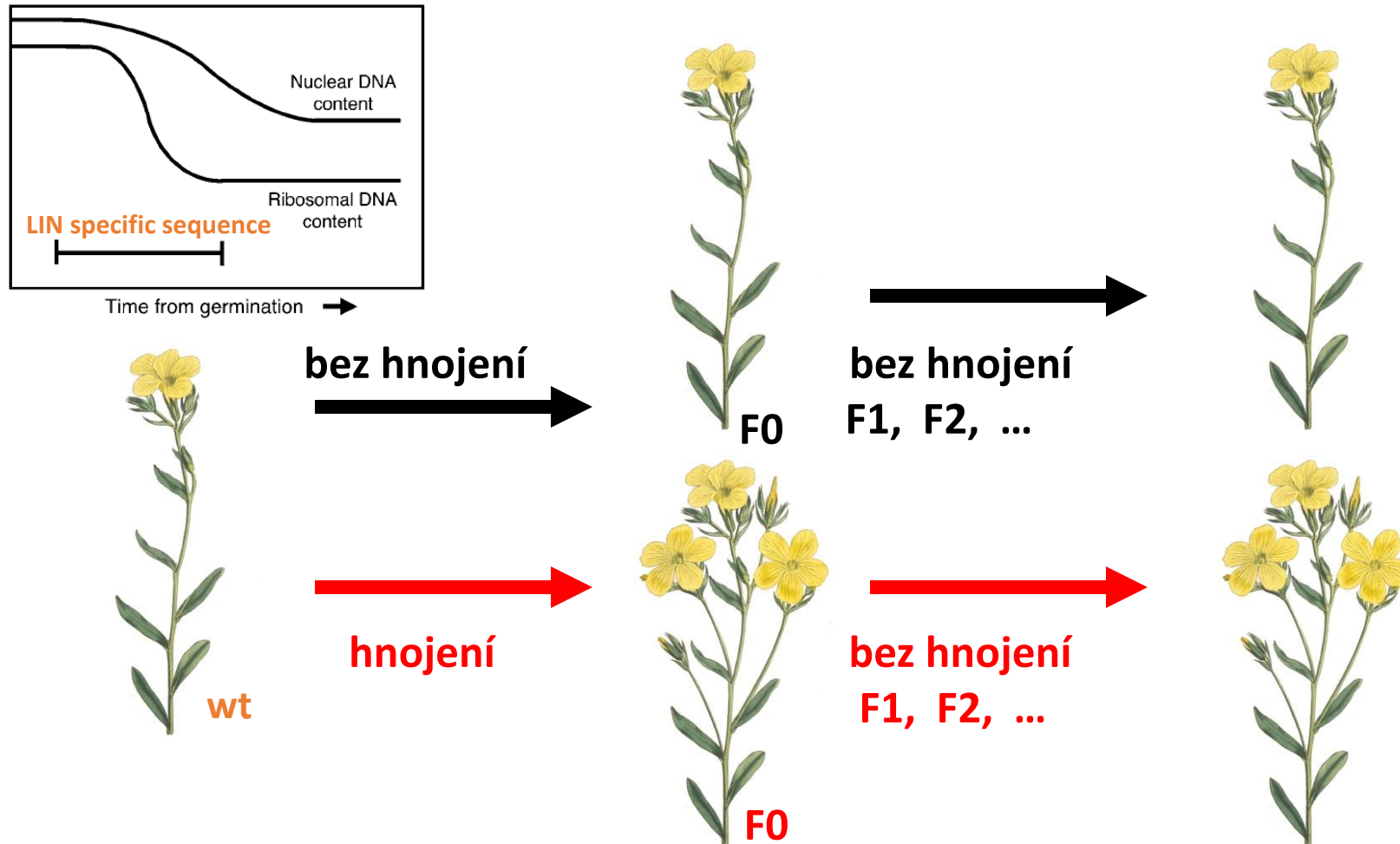
Darwin ... křížení normálních a pelorických forem v F2 127:37 (*Variation of Animals and Plants under Domestication* 1868)

Coen ... hypermetylace homologu genu *cycloidea*



Meiotický přenos epigenetického stavu (fenotypu) aneb environmentální indukce dědičných změn

- genotropy u *Inu* (vliv podnebí a hnojení na větvení)



„Ice Plant“

Mesembryanthemum crystallinum

(kosmatec krystalový, 2děložné, ř. Caryophyllales)

- studium abiotického stresu, odolnosti vůči soli, fotosyntézy
- v různých fázích života a za odlišných vnějších okolností mění morfortyp i fyziologii
- model flexibility
- C = 0,39 pg DNA,
n = 9 chrs





semenáček, fotosyntéza C₃,
sukulentní kotyledony,
nízká tolerance k NaCl,
jádra 2C



juvenilní, fotosyntéza C₃,
vyšší tolerance k NaCl,
velké primární listy,
jádra 2C-16C



dospělá, přechod fotosyntézy z C₃ na CAM, vysoká
tolerance k NaCl, měchýřkové buňky,
velké primární listy,
jádra 2C-32C



kvetoucí, fotosyntéza CAM, měchýřkové buňky,
vysoká tolerance k NaCl, malé sekundární listy, jádra
2C-64C



semena-plodící, fotosyntéza CAM, jen měchýřkové
buňky, vysoká tolerance k NaCl, žádné listy, jádra
2C-256C



epidermální měchýřkové buňky
(epidermal bladder cells)
jádra 256C



dospělá rostlina
po 2týdenním solném stresu,
dosud velké primární listy



dospělá rostlina
po 5týdenním solném stresu,
tvoří úzké sekundární listy



John Cushman
Nevada



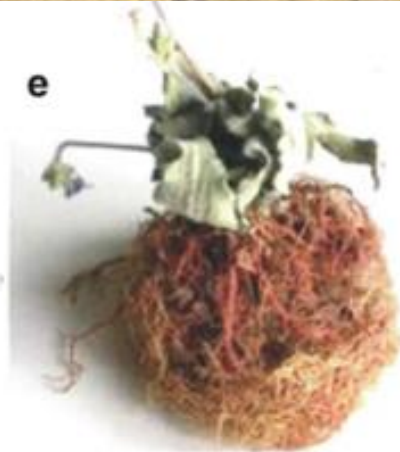
Craterostigma plantagineum

(*Scrophulariaceae*,
dvojděložné)

- studium tolerance
k desikaci
(znovuvzkřížení)



Unstressed, fully hydrated



Desiccated



Rehydrated